

四  
五  
八、二  
一九、七  
四八、三  
三七、六  
四三、五  
四二、七  
二四、三  
三三、一  
終りに臨んで試験試料を供給せられたる八幡製鐵所々員に感謝す。(完)

## 鐵及鋼の研究(承前)

(帝國鐵道協會々報第二十卷第五號より轉載)

本多光太郎

### 第四章 タングステン鋼

#### a タングステン鋼の標準組成

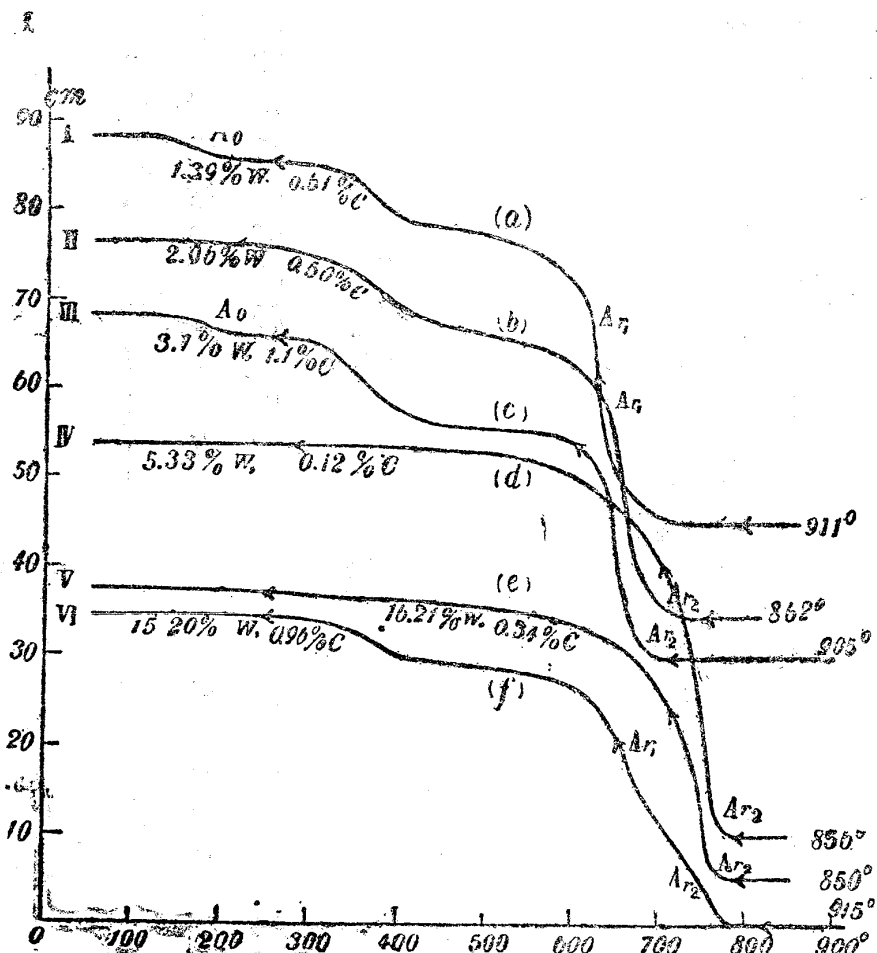
タンゲスチン鋼(Tungsten steel)に於て鐵、炭素タンゲスチンの三元素は如何なる化合物を作るかと云ふことに就て種々の學說あれとも、其中最も信用すべきは英國のアーノーレド及リードの說なり。兩氏の說に従へば炭素約0.6パーセントのとき、タンゲスチンの量11パーセント以下なればWCと $Fe_3C$ なる炭化物を生し、タンゲスチンの量か之れ以上なるときは、WCとタンゲスチニア $Fe_2W$ を生してセメンタイトを作らす、即ちタンゲスチンと炭素との化合力は鐵と炭素との化合力より大なりと考ふるに等し。次に兩氏の說を基とせる余輩の研究の結果を簡単に述へんとす。タンゲスチン鋼は其中に含まる、鐵、タンゲスチン、炭素の量に依つて種々の組成を生すと雖、標準狀態(900°より徐々に冷却せるもの)に於ては大凡そ之を次の六種に區別するを得。

(一)タンゲスチンの少なき場合

此場合に於てはタンクスチーンは先づ炭素と化合して WC を作り、尙炭素の残りあるときは、鐵と化合して Fe<sub>3</sub>C を作る。然るに此鋼を磁氣分析法によつて検するに 210° に於ける A<sub>0</sub> 点の外に 400° の臨界點の存在を見る。之れによつて Fe<sub>3</sub>C は一部游離の状態にありと雖、一部は WC と一種の複炭化物を作るを知る。此複炭化物は後に證明するか如く、4Fe<sub>3</sub>C.WC なる分子式を有す。故に此場合の組成は一般に次式によりて表はれる。



28 圖 タンクスチーン



磁氣と溫度の曲線は 28 圖 a に示すか如く一般に 700° 乃至 770°, 400°, 215° の三個の變態點を有す。

### (1) タンクスチーンか少

し増したる場合

此場合に於ては炭化タンクスチーンは複炭化物を作るより餘計に存在するか故に、此鋼の組成は次式によりて表はさる。即ち



此鋼を磁氣分析法によりて検すれば 700° 乃至 770°, 400° の二つの變態點を有するを知る。但し WC は非強磁性體なれば曲線上に表はれず。28 圖 b は其一例を示

す

(三)炭素及タンクステンが共に増したる場合  
此場合には複炭化物の量は著しく増加し、其の一部は分離して存在す、從て此鋼の組成は次式によりて表はさる。



磁氣分析法によりて之を検すれば  $700^{\circ}, 400^{\circ}, 215^{\circ}$  の三變態點を有す。<sup>28</sup> 圖 c は其一例を示す。

(四) タングステンか更に増し、炭素は比較的少量なる場合

此場合には炭素は凡てタングステンと化合して WC を作るか故に、セメンタイトを生せず、尙殘餘のタングステンは鐵と化合して、タングスタイド  $Fe_2W$  を作る、然るに後に説明するか如くタングスタイドはタングステンに就て、9 パーセントまでは鐵に溶解するか故に、炭素比較的少なく、且つタングスタイルの量がタングステンに就て 9 パーセントを越へされば、タングステン鋼の組成は次式によりて表はさる。



此鋼を磁氣分析法によりて検すれば 770° の單一なる變態點を有す。<sup>28</sup> 圖 d は其一例を示す。

(五) タンクステンが更に増加せる場合

此場合にはタンゲスタイルは悉く鐵に溶解し能はざるか故に、其一部は游離の状態にあり、故に其組成は次式によりて表はざる。



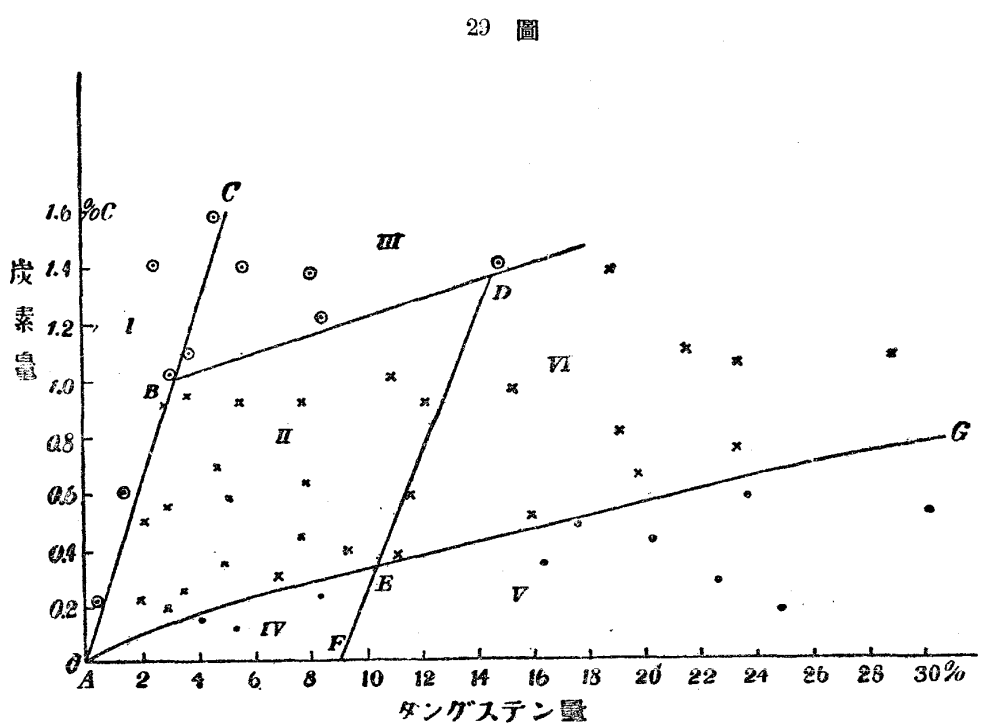
此鋼を磁氣分析法によりて検するに Fe<sub>2</sub>W 及 WC は共に強磁性を有せざる故に、770°の單一なる  
變態點を有す。<sup>28</sup> 圖 e は其一例を示す。

(六) タングステン及炭素の共に著しく増加せる場合  
此場合にタングステンの炭化物及タングスタイドの外に多少のセメンタイトを生し、之が炭化タングステンと複炭化物を作るか故にタングステン鋼は

次の組成をとる。即ち  

$$[\text{Fe} + \text{Fe}_2\text{W}] + [\text{Fe}_2\text{W}] + [4\text{Fe}_3\text{C} \cdot \text{WC}] + [\text{WC}] \dots \dots \dots \text{VI}$$

磁氣分析法によりて之を検すれば、 $770^\circ$ 乃至 $700^\circ$ 及 $400^\circ$ の二變態點を有す。<sup>28</sup> 圖 f は其一例を示す。



以上説明せるか如く炭素 2, タングステン 30 パーセント以下のタングステン鋼は I より VI に至る六個の組成の何れか一つに屬す。今縦線に炭素のパーセントを表はし、横線にタングステンのパーセントを表はすものと考ふれば、圖上の各點は之に相當する成分を有するタングステン鋼を表はす。今磁氣と溫度の曲線上三つの變態點を有する鋼を ● にて表はし、二つの變態點を有するものを × にて表はし、一つの變態點を有するものを ○ にて表はせば、實驗の結果より 29 圖を得。圖上 AB, AG, BD, DF の線は I, II, III 等の境界に引ける線なり。I と II の境界線上に於ては、炭素とタングステンとの比は丁度複炭化物を作りに足るか故に、此線の位置より複炭化物の分子式を知ることを得。例へば複炭化物の分子式を  $n\text{Fe}_3\text{C} \cdot \text{WC}$  すれば、此中にあるタングステンと炭素との比は  $\text{W} : (n+1)\text{C}$  なり、然るに此比は AB 線上の一

合より成る、今之を熱して  $700^{\circ}$  に至れば  $A_1$  變態と共に磁氣は急に消失し、これ以上の溫度に於ては複

の座標の比  $s$  に等し、故に W 及 C の原子量を 18 及 12 とすれば

$$184$$

$$\frac{12 \times (n+1)}{184} = s \quad \text{或} \quad n = \frac{92}{6s} - 1$$

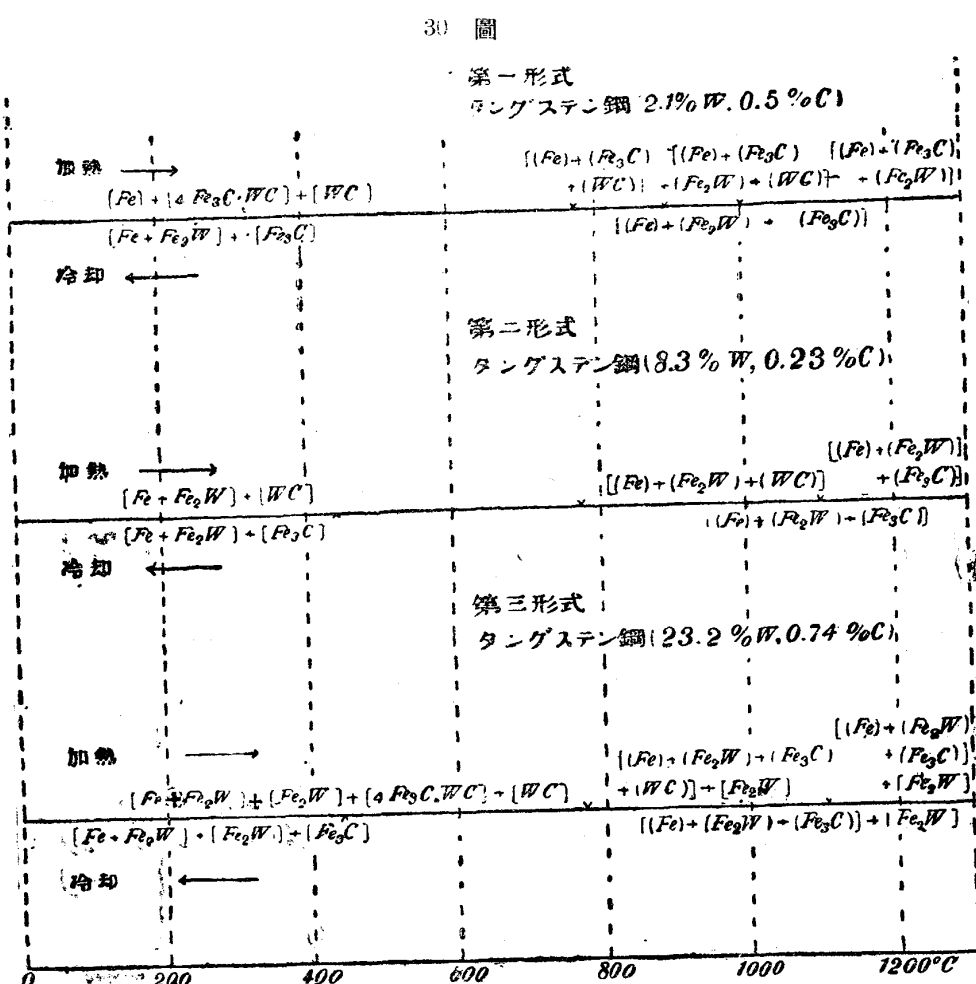
圖より  $s$  の値を求めて  $n$  を計算すれば約 4 なる値を得、故に複炭化物の分子式は  $Fe_3C \cdot WC$  なるを知る。

又 29 圖上 BD, FD, AG は直線として引け

るも實際は多少曲かれる線なるへし。

d

#### 高溫度に於けるタングステン鋼の組織の變化



磁氣分析及顯微鏡研究を利用して高溫度に於ける種々のタングステン鋼の組織の變化を調査せるに、大約 30 圖の三個の形式の變化によりて代表せしむるを得。此圖に於て [ ] は物質か游離の状態にあるを示し、( ) は鐵中に固溶體として存在するを示す。扱て I, II, III に屬するタングステン鋼の變化は第一形式によりて表はざるものにして、今此變化をタングステン 2.1 パーセント、炭素 0.5 パーセントを有するタングステン鋼を借りて説明せんに、標準組成は鐵と複炭化物と炭化タングステンの混

炭化物は分れて存在し、共にオーステナイト中に固溶體として溶解す。若しタンクスチーン鋼を 800° 乃至 900° の間に於て健淬して磁氣分析を行へば、 $A_1$  變態の存在によりて此事實を證明することを得。若し此鋼を 900° 以下より冷却するときは兩炭化物は  $A_{11}$  點に於て再び結合するか故に、常溫に於ては

標準組成を得。

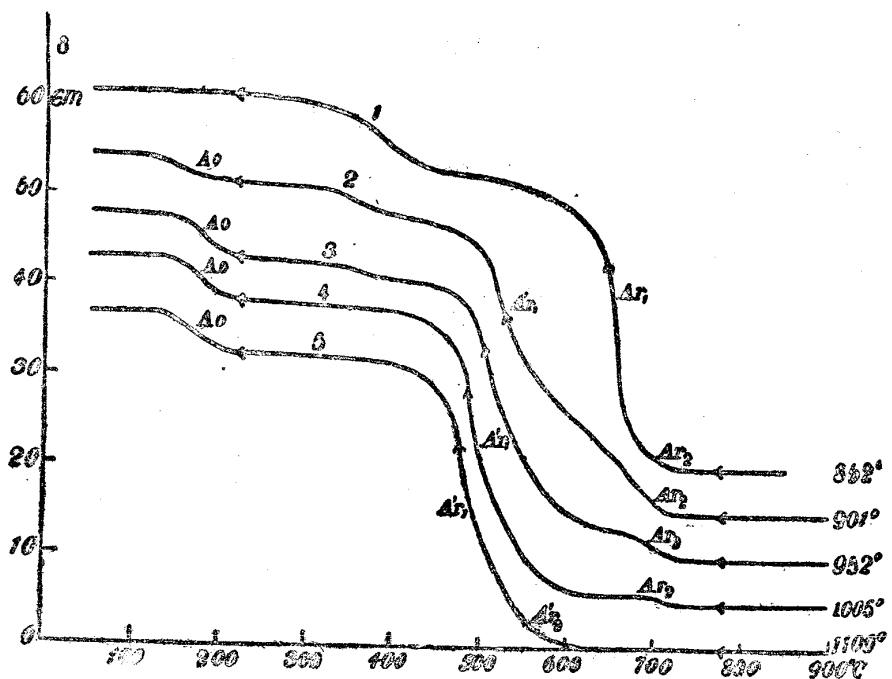
次に此鋼を 900° 以上に熱すれば次の反應始まる。即ち



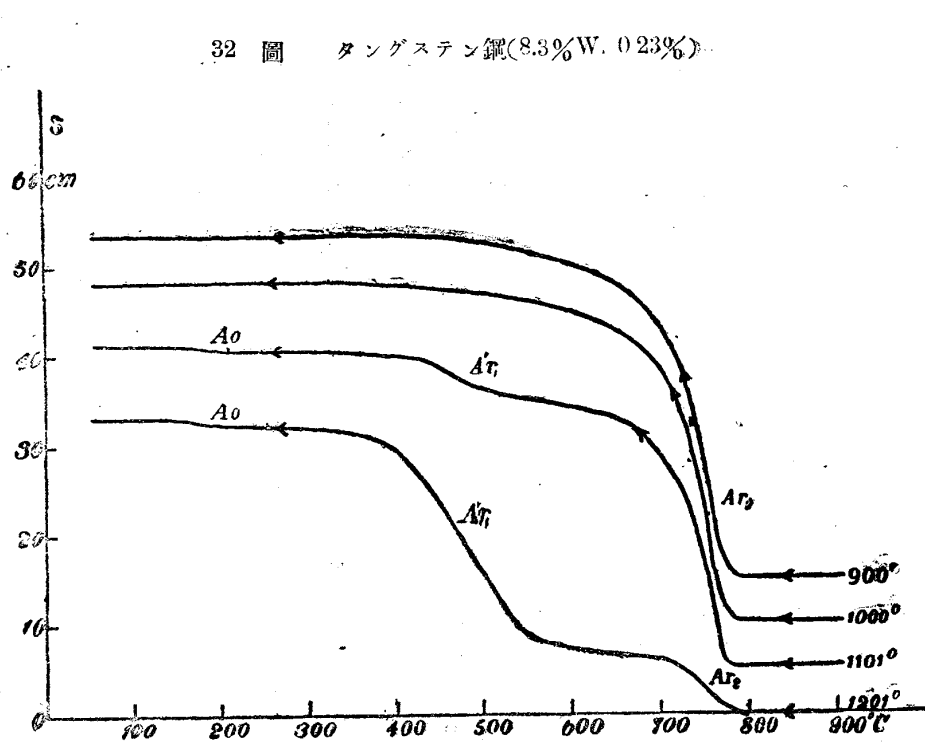
此反應は溫度高ければ高き程左より右に進行す。故に 900° 以上に於ては  $Fe_3C$ ,  $WC$ ,  $Fe_2W$  の三化合物を含有す。約 1000° に於ては上記の反應は完了し、 $WC$  は凡て  $Fe_2W$  と  $Fe_3C$  とに變す。此溫度は炭素の量の増すに従つて上升す。從て此溫度以上に於ては鋼は固溶體として單に  $Fe_3C$  と  $Fe_2W$  とを含むのみ。上記の反應の事實に適合することは以下諸所に於て之を説明せん。

今 900° 以上に熱したるタンクスチーン鋼を冷却すれば  $A_1A_2A_3$  變態は一部著しく下降するを見る。之れ上記の反應によりて生するタンクスチードか一部其附近の鐵中に溶けて固溶體を作り。之か其部分に於ける變態を下降せしむるに依る。然るにセメントタイト及分解せざる炭化物は、 $A_{11}$  點を通りて冷却するとき、再び複炭化物を作るか故に普通の溫度にて變態を生するなり。前記のタンクスチードを溶かせる部分は 590° にて變化を始め之と同時にフェライトはタンクスチーンを溶かせる固溶體より分離し始む。而して

31 圖 タンクスチーン鋼(2.1%W, 0.5%C)



生するかを十分に説明せるもの無かり。



固溶體の濃度が或値に達するとき、約520°に於て $A_1$ 変態を生してセメンタイトを遊離す。故に磁氣と溫度の曲線は520°附近に於て二段に増加す。前段はフェライトの分離による磁氣の増加にして、後段は $A_1$ 変態に伴ふ磁氣の増加なり。斯して常温まで冷却されたる鋼はセメンタイト及タンクスайдを溶解せる鐵とより成る、實際セメンタイトとの存在は磁氣と溫度の曲線上 $\alpha$ 點の存在によつて推知することを得。又鐵か $Fe_2W$ を溶解せることは常温に於ける冷却後の磁氣が最初より著しく小なるによりて知るを得へし。

加熱の最高溫度の増すに従ひ冷却の際720°に始まる磁氣の増加は次第に減し、之に反して500°附近に於けるものは増加す。之れ前に述へたるか如くWCの分解が最高溫度の増加と共に進行するによるなり。又 $\Delta$ 変化の次第に増加し、400°の變化の次第に減少するは同一の事柄の證明と考へらる。若し1000°以上に於てWCの分解が完了すれば、720°及400°の磁氣の變化は消失し、 $\alpha$ 點に於ける變化は最大となる。又 $A_1$ 點の下降及其變化の大きさも最大となる。

以上は低タンクス汀鋼の加熱によりて生ずる變化を示す。タンクス汀鋼は熱處理によりて著しく其性質を異にすることは已知の事實なるも、何故に斯る變化を

次に一旦  $1000^{\circ}$  以上に熱して變化せる鋼を冷却後再び少しく  $A_{C_1}$  點以上に熱すれば、セメンタイトはタングスタイドを溶かせるオーステナイト中に溶解す。此タングスタイドはセメンタイトと作用して次式に示すか如く WC に變化す。



故に再び之を冷却するときは、 $A_{C_1}$  點に於て WC の一部は  $Fe_3C$  と合して複炭化物を作り、標準組成に復す。此變化は磁氣分析法によりて明瞭に見ることを得。

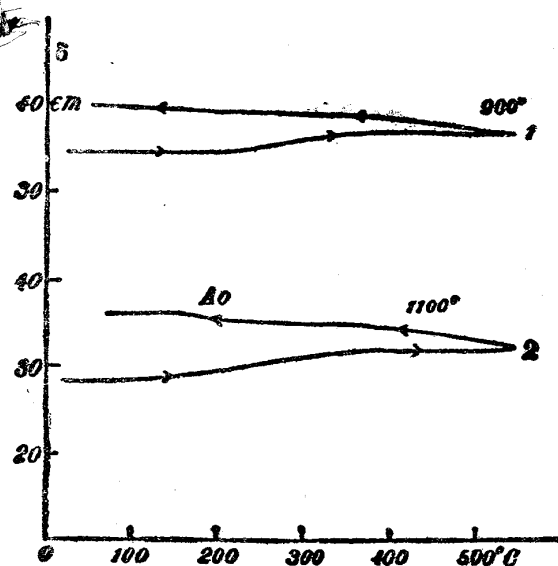
第二形式の變化は IV 及 V に屬する鋼の高溫度に於ける變化を表はすものにして、其例としてタングステン 8.3 パーセント、炭素 0.23 パーセントを含有するタングステン鋼に就て述へん。此鋼は標準状

態に於てはタングスタイドを溶解せるフェライトと游離炭化タングステンとより成る。 $A_{C_1}$  點以上に於ては炭化タング

ステンはオーステナイト中に溶解す。 $1100^{\circ}$  以上に於ては、WC は鐵に作用してタングスタイド及セメンタイトを生す、故に此溫度以上に於ては、鋼は單にタングスタイド及セメンタイトを溶解せる鐵より成る。從て之を冷却するときは前の場合と同一の變化を生し、常溫に於てはセメンタイト及タングスタイドを溶解せるフェライトより成る。若し再び之を  $900^{\circ}$  に熱するときは標準組成を得ること前の場合の如し。以上の變化は例へば 32 圖に示すか如き磁氣分析を利用して推論し得たるものなり。

又 33 圖に示す如く、此鋼を  $900^{\circ}$  より健淬すれば  $A_1$  變化を示さずと雖、 $1100^{\circ}$  より健淬すれば此變化を表はす、WC の分解は  $900^{\circ}$  にては未だ生ぜざるも  $1100^{\circ}$  に於て一部生するを示す。

33 圖



終に第三形式の變化はVIに屬する鋼の高溫度の變化を表はすものにして、其例としてタンクスチン 23.2% パーセント、炭素 0.74 パーセントを含有する鋼に就て述へん。標準狀態に於ては此鋼は固溶體のタンクスチド、游離のタンクスチド、複炭化物、炭化タンクスチンを含み、770°と 1100°の間に於て

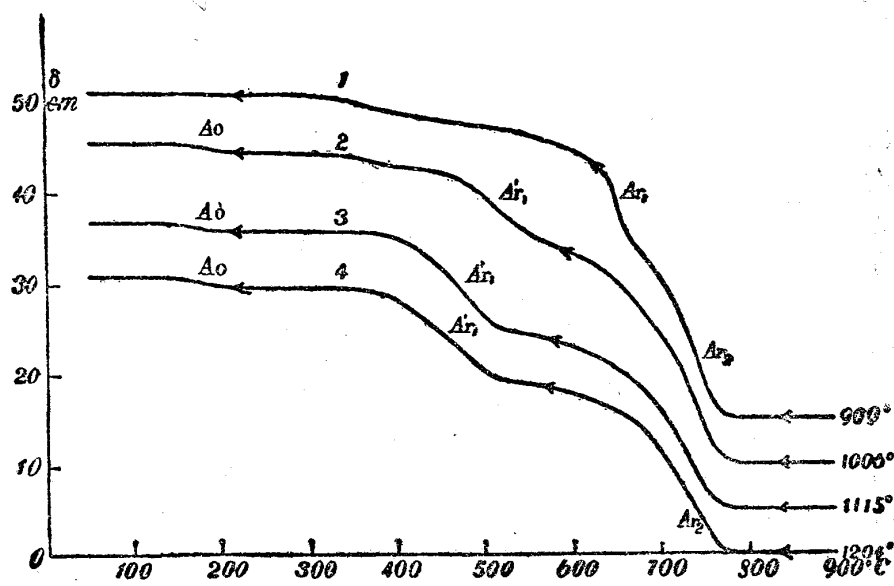
は固溶體としてタンクスチド、セメントタイト、炭化タンクスチンとを溶かせる鐵と多少游離のタンクスチドを含む。又

1100°以上に於ては、此鋼は固溶體のタンクスチド及セメントタイトと、游離タンクスチドを含む。若し之を高溫度より冷却するときは、前の二つの場合と同様の變化を生し、常溫に於ける鋼はタンクスチドを溶解せる鐵、游離タンクスチド及セメントタイトより成る。かく變化せる鋼を再び 900°に熱すれば標準組成を得ること前の場合の如し。是等の變化も 34 圖に示すか如き磁氣分析によりて推知するを得。

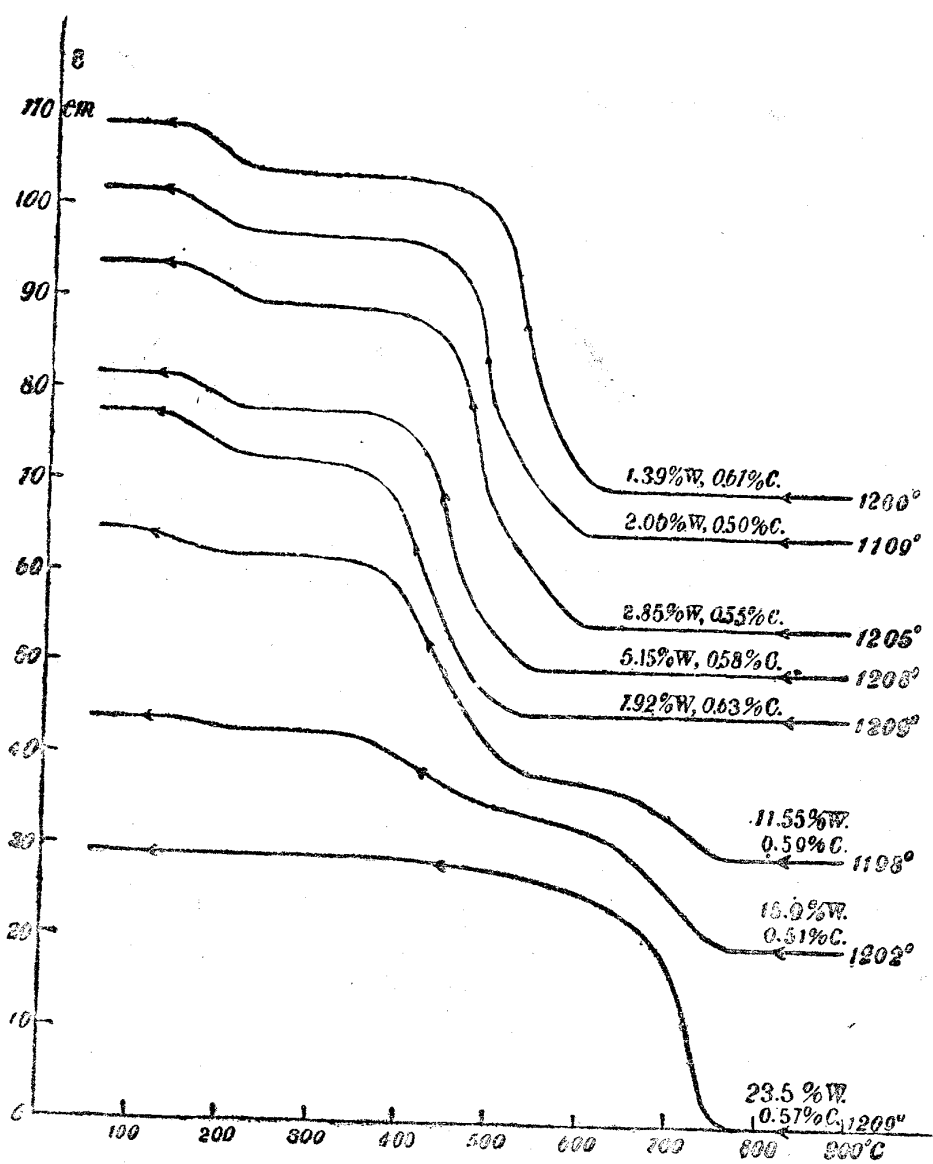
以上述へたる如く凡て  $A_{r_1}$  變化の下降はフェライトに溶解せるタンクスチドによる。然るにタンクスチドはタンクスチンに就て 0.1 パーセントまで溶解し得るものにして、夫以上のタンクスチドは游離の状態にあり、故に之の下降も 35 圖に示せるか如く、タンクスチンの 0.1 パーセントまでは増加するも、夫以上のタンクスチンによりて更に影響せらるることなし、此結果は後に述ふる顯微鏡的研究の結果と一致す。

前記のタンクスチン鋼を高溫度より冷却するに當り、700°附近を非常に徐々に冷却するときは、36

34 圖 タングステン鋼(23.2%W 0.74%C)



35 圖 タングステン鋼

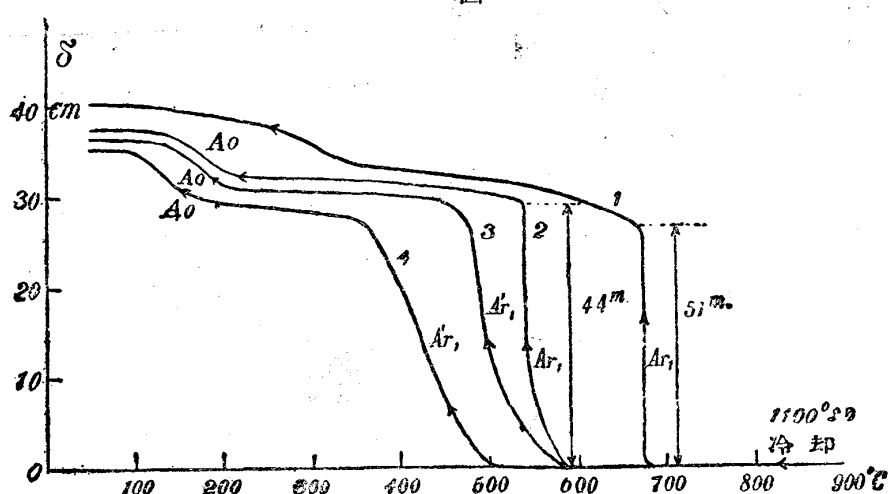


又 A<sub>1</sub> 變態點の下降か冷却の速度に依ることも同様に説明することを得。今タングステン鋼を A<sub>C1</sub> 點以上に熱するときは、

$$WC + 5Fe \rightleftharpoons Fe_2W + Fe_3C$$

なる反応は左より右に進み冷却のときは右より左に進む。若し加熱の最高溫度が A<sub>C1</sub> 點以上餘り高からざるとときは、左より右への反応小にして、徐々なる冷却に於ては、其反応可逆的に右より左へ進む。されど急速なる冷却に於ては炭化タングステンの生成小にして、A<sub>C1</sub> 變化は固溶體となれるタングスタイドの爲めに下降す。加熱の最高溫度大なるに従ひ、多量のタングスタイドを生ずるか故に、急速冷却の際には亦多量のタングスタイドは固溶體として存在す從て A<sub>C1</sub> 點の下降益々大なり。又冷却の速度大なれば大なる程上記反応の右より左へ進むこと少なきか故に

36 圖



$A_r$  点の下降を大ならしむるなり。

高タンクステン鋼の場合には、又次の如き  $A_r$  点の下降の原因をも考ふることを得。タンクスタイルの溶解度は高溫度に於ては低溫度に於けるよりも殊に大なるか故に、冷却の速度大なるときは、タンクスタイルの大部は析出する時を有せざるか故に、固溶體として残るへし、從て  $A_r$  点の下降大なり。

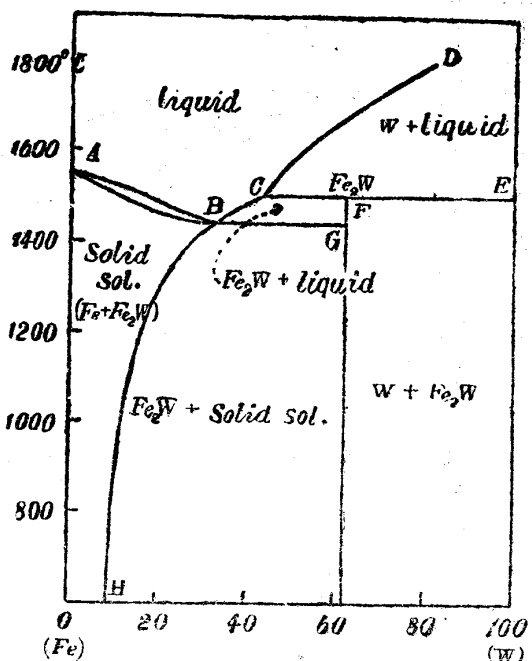
又タンクステン鋼に於ては、 $A_r$  点の下降を生ずる最高溫度は炭素の量大なる程高し。之れ炭素量大なるときは、セメントタイトの量多きか故に、前記の反應の左より右に進むこと困難なるか爲なり。

#### c 鐵、タンクステン系の顯微鏡組織

タンクステン鋼の顯微鏡組織を研究するに先ち、炭素を含まざる鐵とタンクステンとの合金に就いて研究せり。鐵タンクステン系の合金に就ては、1907年獨人ハーコートの研究あれともタンクステン含有量20パーセント以上に及はす。依て我研究所に於ては一層廣き範圍に涉りて研究せんか爲め、還元鐵と粉末タンクステンとを、所要の割合に混合し、水壓機に由て、壓縮して棒状となし、之をマグネシャ製の熔融管に入れ、1700°乃至1800°に熱して、タンクステン20パーセントまでの合金を作り、種々の熱處理を施して、顯微鏡組織を研究せり。又或種の合金に就ては、熱分析に由て、其の變化を確めたり。

37 圖は顯微鏡組織の研究によりて得たる鐵タンクステン系の近似的狀態圖なり。此系にはタンクスタイル ( $Fe_2W$ ) なる一化合物あり。此化合物は常溫に於てタンクステンに就てのパーセントまで鐵

87



に溶解す、而して溫度の昇るに従て、溶解度を増加し $140^{\circ}$ に於ては鐵は33パーセントのタングステンを溶解す。融液の狀態に於ては、此化合物は鐵に溶けて一様なる液を生すと雖、固體の狀態に於ては一部溶解するに過ぎず、故にタングステンの含有量33パーセント以下の合金を融液より冷却するときは、先づ此化合物の不飽和固溶體を析出し、残りの液はタングステンの含有量を増し、或溫度に至て全部固結す。此際冷却速度十分小なれば、融液は次第に初めに析出せる固溶體に擴散して一様なる固溶體を生すと雖、普通の場合にはその速度充分小ならざるか爲に、一様に擴散すること能はず。若し此固溶體のタングステン含有量9パーセント以上なるときは、冷却するに従て此化合物を析出す。曲線BHは冷却に従て、溶解度の減少する關係を示す。此タングスタイドはピクリン酸曹達の溶液を以て煮るときはよく着色するか故に、容易に検出する事を得へし。又此化合物は新試薬赤血鹽のアルカリ溶液(赤血鹽苛性加里各10瓦を水100c.c.に溶かしたる液)を用ふるときは、室温に於ても十秒乃至二十秒にてよく着色す。

次に33乃至43パーセントのタングステンを含む合金を融液より冷却するときは、先づタングステンイドなる化合物の結晶を析出し、残りの液は $1440^{\circ}$ に達して、33パーセントのタングステンを含む固溶體として凝固し、更に冷却するに及んで、此化合物を析出すへし、曲線BCはタングスタイドの初期結晶(Primary crystal)の析出溫度を表はし、水平線BGは飽和固溶體Bの凝固點を示す。又43パーセント以上のタングステンを含む合金を融液より冷却するときは、初期結晶として金屬タングステンを析出す。

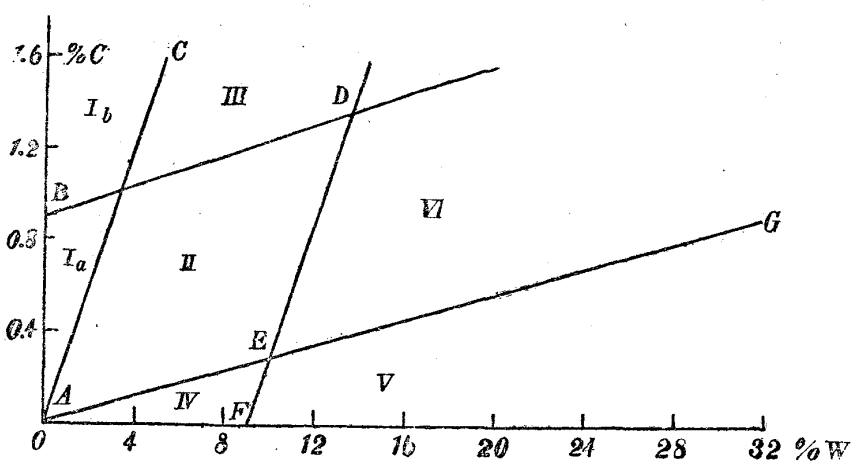
曲線 CD は其析出溫度を示す。若し溫度が  $1500^{\circ}$  附近に下るとときは、析出せるタングステンは融液中の鐵と化合してタングスチドを生す。水平線 CE は其生成溫度を示す。タングステンの含有量此化合物を作る割合(即  $62\%$ )以下なるときは、初期結晶タングステンは凡て化合すべきも、固體と融液との反應には時間を要するか故に、普通の速度を以て冷却するときは唯タングステン粒の周圍のみ一部分化合物に變してタングステンを包圍するのみ。若し  $1500^{\circ}$  附近を非常に徐々に冷却するときは、タングステンは凡て化合物に變化すべく、タングステンの含有量  $62\%$  パーセントなるときは、合金全部此化合物の結晶よりなるへし。タングステンの含有量  $62\%$  パーセント以上なるときは、如何に徐々に冷却するも此化合物の外に金屬タングステンの存在するを見る。

茲に注意すべきことは、 $43\%$  パーセント以上のタングステンを有する合金に於ては、融液より凝固するに當り、冷却の速度遅きときは容易に二層に分離することなり。是れ最初析出するタングステンは、その融液に比すれば比重頗る大なるか爲、下方に沈むによるなり。

曾てスキンデン (Swinden) は瑞典鐵を融解し、之に飽和するまでタングステンを加へて一様なる融液をつくり、然る後之を冷却せるに、常に二層に分かれ、其の下層は  $52\%$  パーセントのタングステンを含有せしにより、 $\text{Fe}_3\text{W}$  なる化學式を有する化合物なりと結論せり。されど余輩の研究によれば下層は決して單一なる物質にあらず、又冷却速度に因て其組織を異にするものにして、決して一定の化合物にあらざるなり。

次に鐵とタングスチドとの合金の顯微鏡寫眞に就て説明せん。<sup>38</sup> 圖より 44 圖に於ては、此合金の顯微鏡組織を示し、且つ其説明をも加へたり。圖に於て特に註釋を與へさるものは、凡てピクリン酸にて腐蝕せるものと知るへし。(寫眞は最後に附す)

45 圖



45 圖は標準組織を有するタングステン鋼の組織を示す。圖の AC 線は顯微鏡に由りて區別することができはす、又直線 FD 是タングスチードの溶解度を表はすものにして、此直線より右方にある鋼はタングスチードの球を有す。此線の右方に傾くは、炭素の含有量増加するに従てタングステンの多量か炭化物に變するか故にタングスチードの量を減し、從て之が分離するに、多量のタングステンを要するを示す。又直線 BD 是パーライトの組成を表はし、此直線より上の區域に於ては、パーライト及炭化物の存在するを見る。此直線の上方に傾けるはタングステンの增加するに従ひ、全部パーライトの組織を得るには多量の炭素を要するを意味す。但し此場合に於けるパーライトは鐵と複炭化物及セメンタイトとより成るものと考へらる。次に AG 線は磁氣分析に依れば複炭化物の有無を分てる境界線なるか、顯微鏡的組織に於てはパーライトの有無を分つなり。即ち此線以下の區域に屬するものはパーライト組織を有せず。但し複炭化物及セメンタイトは鐵と共にパーライトを生するも、炭化タングステンは之を作らす。されど此炭化物か分離して存するか、又溶解して存するかは顯微鏡的研究によりては決定し難し。今各區域に就て顯微鏡組織を表示すれば左の如し。

Ia, II [F]+[P] Ib, III [C]+[P] IV [Fe<sub>3</sub>W] V [Fe<sub>3</sub>W]+[Fe<sub>2</sub>W] VI [Fe<sub>3</sub>W]+[Fe<sub>2</sub>W]+[P]

茲に F はフェライト、P はパラライト、C はセメンタイト、Fe<sub>3</sub>W はタングスチードを溶解せるフェライトを表はす。

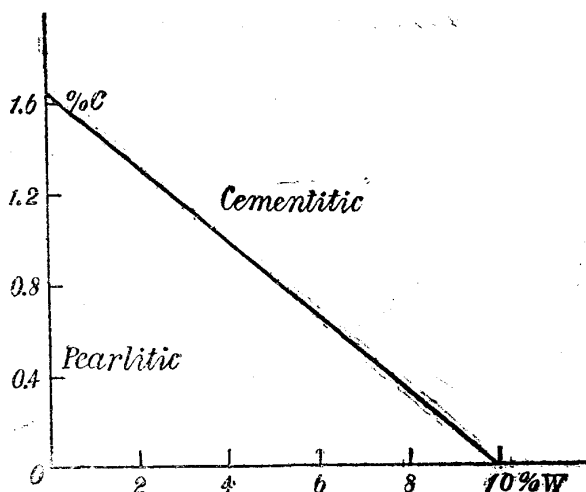
佛國の學者ギュイ (Guillet) が與へたるタングステン鋼の組織圖(49 圖)は多くの教科書にも掲載せら

るれとも至て不完全のものなり、而も氏はタンクスティードを炭化物と考へたるか如し。思ふに炭素含

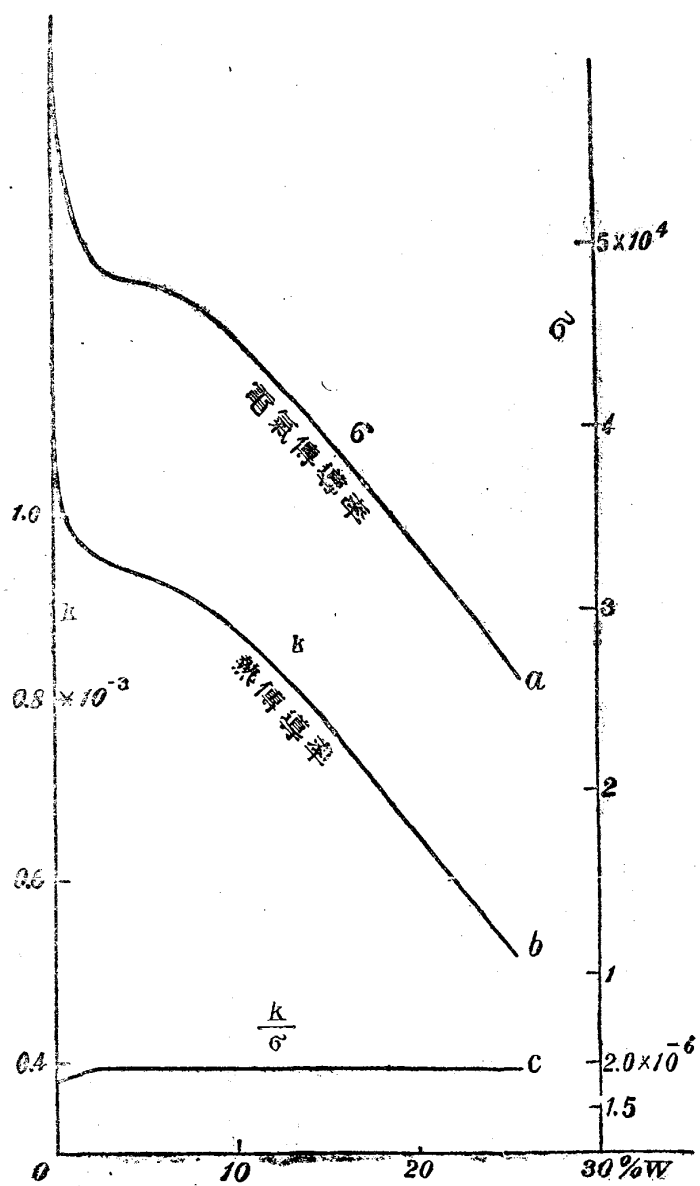
有量の多き鋼に表はるゝセメントタイトは、高タンクスティード鋼に現  
はるるタンクスティードの如く微細なる粒状をなし、且つ共にピク  
リン酸曹達を以て煮るときは容易に着色するか故に同一の炭化  
物なりと考へたるものならん。

されとも兩者は前記の赤血鹽溶液を以て容易に判別すること  
を得へし、又タンクスティード鋼に表はるゝ微細なる粒状の物質は炭  
化物にあらざるは、次の事實に由て明かなり。(一)炭素を有せざる鐵  
とタンクスティードの合金にも表はるゝこと、(二)タンクスティードの含有

46 圖



71 圖 タンクスティード(03%W)



實は然らず。殊にタンクスティード

量一定ならば炭素を増すに從  
て減すること。(三)炭素の含有量  
一定ならば、タンクスティードを増  
すに從て増加することなり。若  
し此粒狀の物質が一定の炭化  
物ならはタンクスティード或は炭  
素含有量一定ならは、其量も亦  
一定ならざるへからざるに事

28

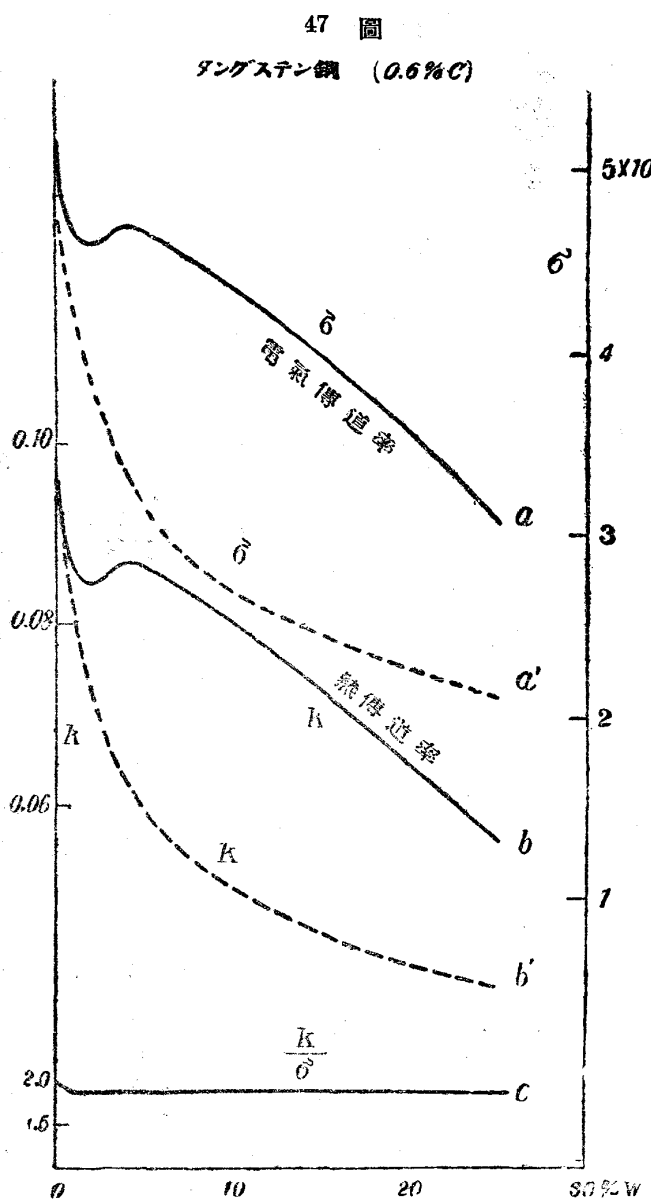
を一定にして、炭素を増すに従て却て其の量を減するは之か炭化物にあらざるを證するものなり。

顯微鏡組織と磁氣分析に於ける磁氣と溫度の曲線とは密接の關係を有す、例へは最高溫度及冷却速度による冷却曲線の變化と顯微鏡組織の變化とは、其意義に於て全然一致す。

以下タンクスン鋼の顯微鏡寫真に就て述へん。47圖より70圖までタンクスン鋼の顯微鏡寫真にして、各圖に説明を附加せり。圖に於て特に註釋を加へさるものは凡てピクリン酸溶液を以て腐蝕したものなり。(寫真は最後に附す)

#### e タンクスン鋼の物理的定數

以上の研究によりてタンクスン鋼の組織は明瞭に知るを得たるか故に、次に諸種の物理的定數例へは熱傳導率、電氣傳導率、彈性率、剛性率、膨脹係數等を測定し、是等諸量に及ぼす炭素及タンクス



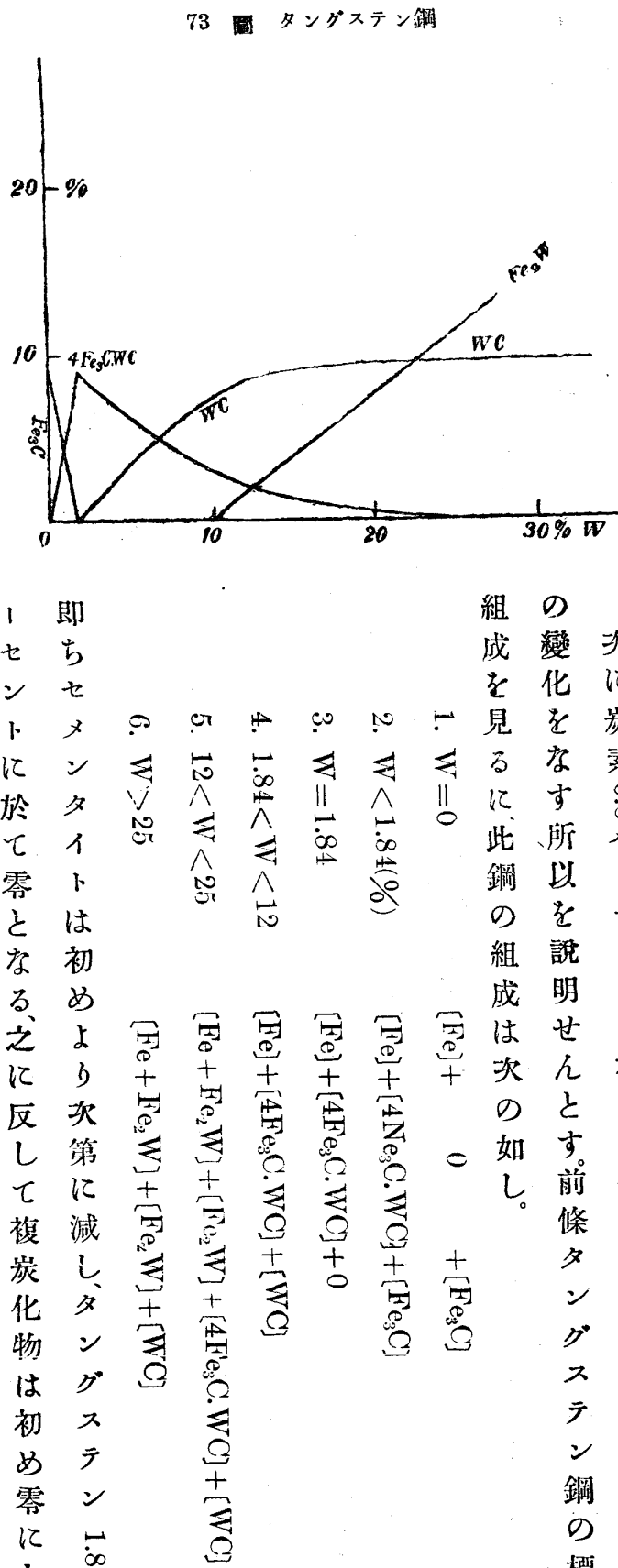
ンの影響を調査し、同時に其變化か前記の組成より結論し得らるゝ結果と一致するや否やを吟味せんとす。猶ほ凡て是等の定數は同一の試料に就て測定せられたるものなるか故に、或理論上の結果を検するに都合よき材料たるを失はす。試料は凡て長さ約二十粁、直徑五粂の圓柱として試験せり。

#### (i) 热傳導率及電氣傳導率

測定の方法は炭素鋼の場合と同一なり。71 及 72 圖は夫々炭素 0.3 及 0.6 パーセントを有するタンガステン鋼に於ける實測の結果を表はし、a, b, c の曲線は夫々電氣傳導率(Electric conductivity  $\sigma$ )熱傳導率(Thermal conductivity  $k$ )其比 $k/\sigma$ とタンガスラン量との關係を表はす。但し試料は 900° まで熱して一度鈍したものなり。是等の圖より次の結論を得。

(一) 热傳導率と電氣傳導率の變化を表はせる曲線は互に平行す。(二) 热傳導率と電氣傳導率との比は殆ど一定の値を有す。此結果は電子論の結論と一致す。(三) 鐵の兩傳導率はタンガスランを加ふるに従ひ、始めは急速に減し、次て緩慢となり、極小點を経て少しく増加し、其後再び減少す。(四) 此變化は炭素量の多き方明瞭に表はる。

次に炭素 0.6 パーセントを有する鋼に於て曲線が上記の特種の變化をなす所以を説明せんとする。前條タンガスラン鋼の標準組成を見るに、此鋼の組成は次の如し。



即ちセメントタイトは初めより次第に減じ、タンガスラン 1.84 パーセントに於て零となる。之に反して複炭化物は初め零にしてタンガスランと共に増加し、タンガスラン 1.84 パーセントのとき極大に達し、其後次第に減少し、タン

ダステン 25 パーセントに於て零となる。又炭化タングステンはタングステン 18% パーセントより始まり、10 パーセント以上に於て最大に達し、其後は變化せず。又タングスタイドは約 10 パーセントに於て始まり、其後タングステンと共に其量次第に増加す。<sup>73</sup> 圖は上記の諸量の變化の大要を示す。

一般に金屬元素の化合物は元素自身よりも小なる電氣傳導率及熱傳導率を有す、故にセメントタイト炭化タングステン及複炭化物は何れも鐵より小なる傳導率を有するものと考へらる。故に此鋼の傳導率はタングステンの增加するに従ひ(一)セメントタイトの減少により増加し、(二)鐵の減少、炭化タンクステンの增加、複炭化物及タングスタイドの增加によりて夫々減少すへし。されどタングステン 5 パーセント以下の中に於ては、複炭化物の量は他の炭化物の量より著しく大なるか故に、傳導率の重なる變化は此複炭化物によりて左右せらる。然るに複炭化物の量はタングステンの零より始まりて、18% パーセントに於て最大に達し、10 パーセントに於ては已に著しく減少す。故に此複炭化物か他の炭化物より小なる傳導率を有するものと考ふれば、<sup>72</sup> 圖に於ける曲線<sup>25</sup>の極小及極大の存在はよく了解するを得、且つ極小の濃度が略ほ 18% パーセントと一致するは注目に値す。又兩傳導率の極大點以後の著しき減少は、炭化タングステン及タングスタイドの增加と鐵の減少とによりてよく説明することを得るなり。

炭素 0.3 パーセントのタングステン鋼に於ては、炭化物及複炭化物の量は、前の場合の半分に等しきか故に、極大及極小一層不明瞭となるべく、此結論は正に <sup>71</sup> 圖の實測の結果と一致す。

以上の論法は一般に他の物理的性質の變化にも適用せらるゝか故に、今タングステンを含まざる鋼の、或物理的或は機械的性質を表はす量を  $P_0$  とし、A、B、C、D 等を夫々タングステン  $w$  パーセントを有する鋼の含有するセメンタイト、複炭化物、炭化タングステン、タングスタイドの量を表はすものとすれば、是等は皆  $w$  の函數なり、即ち

$$\begin{aligned}
 A &= セ メ ナ タ イ ツ の 量 = f_1(w) & B &= 複 炭 化 物 の 量 = f_2(w) \\
 C &= 炭 化 タ ン グ ス テ ン の 量 = f_3(w) & D &= タ ン グ ス タ イ ド の 量 = f_4(w)
 \end{aligned}$$

故に  $w$  バーセントのタングステンを有する鋼の物理的量は次式によりて與へらる。

$$P = P_0 + aA + bB + cC + dD$$

茲に  $a, b, c, d$  は  $A, C, D$  の係數にして實驗によりて定めらるべき量なり、然るときは一物理的或は機械的量に適當の値を有せしむるに必要なるタングステンの量は自ら定まる。

以上は  $900^\circ$  に於て一旦鈍したる結果なるか、若し此鋼を  $1200^\circ$  より急速に冷却するときは、複炭化物は消失するか故に、傳導率の曲線上にある極小は消失すべき筈なり。又以上の熱處理によりて生ずるタングスタイドは固溶體として鐵に溶解するか故に、兩傳導率は著しく減少すべきなり。<sup>72</sup> 圖點線は

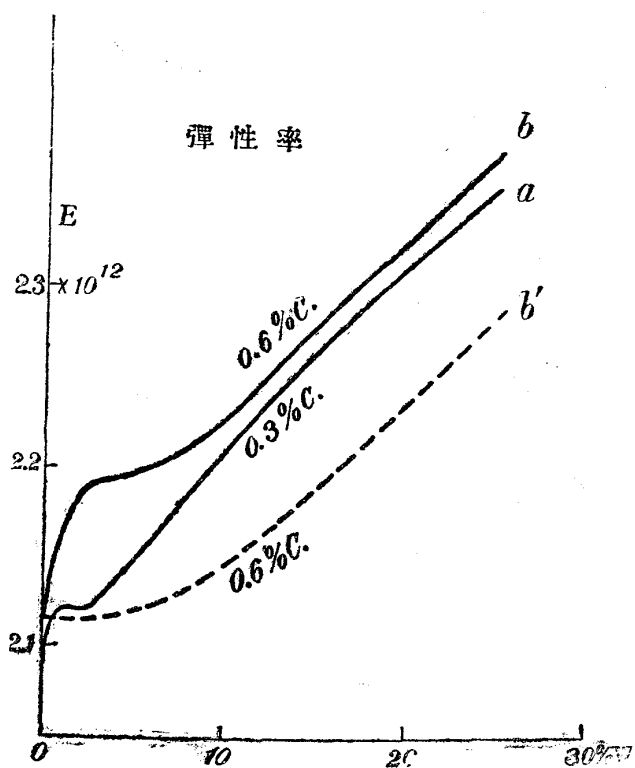
實驗の結果にして正に此推論に合致せり。

之れを約言すれば諸種のタングステン鋼に就て兩傳導率を測定せる結果は前記の標準組成の正當なるを示すものなり。

#### (ii) 弾性率及剛性率。

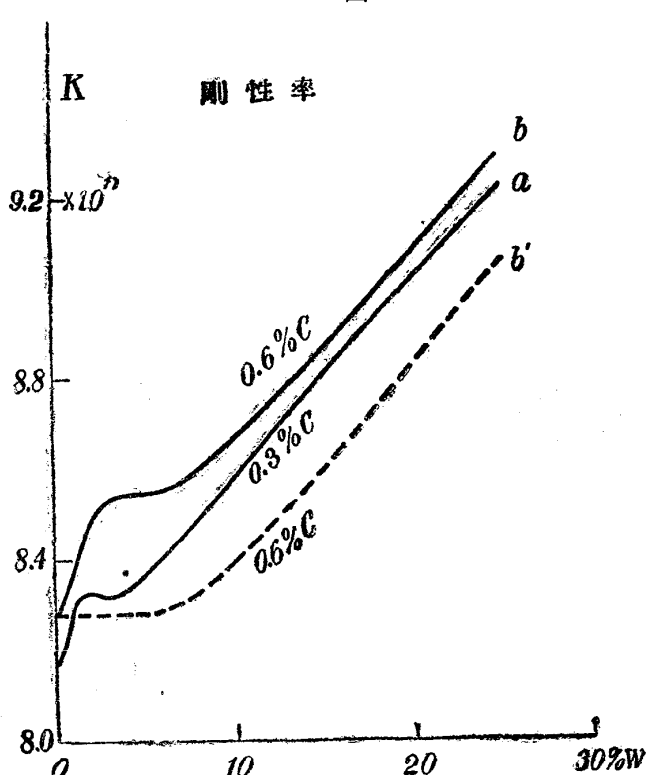
弾性率の測定はボッゲンドルフの方法に依れり、即ち棒を水平に二個の丈夫なる枕の上に置き、其兩端に近く各一個の小鏡を垂直に固定し、棒の中央に分銅を吊して之を曲げ、垂直の尺度と遠望鏡によりて鏡の傾を讀みて弾性率を計算せり。又剛性率を測るには捩れの方法によれり。即ち棒を水平に其一端にて固定し他端に軽き車輪をはめ、外方よりその

74 圖



中心を軸受けにて支ふ。又此車輪の周邊の水平なる相對せる二點より、上下は相等しき二力を作用せしめて棒に純粹の偶力を與へ、棒の捩れの角は其兩端に近く固定されたる二つの鏡の傾きによりて測り、之より剛性率を計算せり。

75 圖

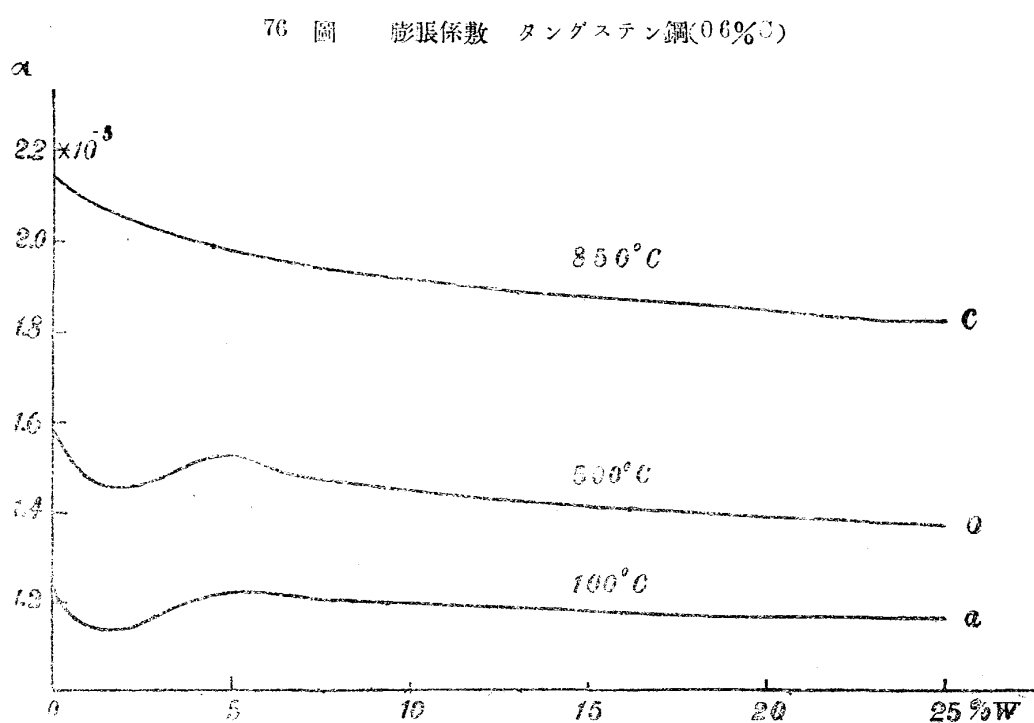


74 圖は彈性率に關する實驗の結果にして、*a b* の二線は夫々炭素 0.3 及 0.6 パーセントのタンクステン鋼の彈性率を表はす。又 75 圖は炭素 0.6 及 0.3 パーセントのタンクステン鋼に於ける剛性率とタンクステンとの關係を表はす。是等の圖より推論せらるゝ重なる結果は次の如し。

(一) タンクステン量による彈性率及剛性率の變化は全く相平行す。(二) 張性率或は剛性率の曲線の形は兩傳導率の曲線を上下轉倒したるものに酷似す。(三) タンクステンの増すに従ひ、鋼の彈性率及剛性率は初めは急速に増加し、次に増加緩慢となり、極大を経たる後減少し、其後再び漸次増大す。(四) 同一のタンクステンの量に對しては、炭素の多き方彈性率の増加大なり。

扱て兩傳導率の場合に説明せるか如く、彈性率及剛性率の初めの急速の増加は重に複炭化物により、全體としての漸次的增加はタンクステンドによる者と考ふるを得。曲線 *b* の極大か曲線 *a* の極大より約二倍原點より遠き所にあるは、極大か複炭化物の作用によることを示す。又タンクステン 0.6 パーセント以上に於て、曲線 *b* が曲線 *a* より常に一定距離だけ上方にあるは、炭化タンクステンの含有

量の差に依るなり。何となれば、タングステン 10 パーセント以上に於ては、兩タングステン鋼に於ける炭化タングステンの量の差が一定なれはなり。



以上は一旦 900° に於て鈍したる鋼に就ての結果なるも、若し鋼を 1200° より急速に冷却するときは、複炭化物は消失し、且つ新に生したるタングスタイドは鐵中に固溶體を作りて存在す、故に彈性率及剛性率の最大は消失すべきなり。此推論は、74 圖及 75 圖の點線の示すか如く、正に實驗の結果と一致せり。又高タングステン鋼に於ける彈性率及剛性率の此熱處理によりて著しく減少せるは、鐵に溶解せるタングスタイドの作用なり。

### (iii) 热 膨 脹

熱膨脹の測定は第一章に述へたる方法によりて爲せり。タングステン鋼の熱膨脹曲線の形は低タングステン鋼に於ては炭素鋼の場合と同一にして、 $A_1$  及  $A_3$  變態に伴ふ長さの異常變化を認むるを得へし。又タングステン 20 パーセント以上の鋼に於ては  $A_1$  及  $A_3$  變態に伴ふ異常變化著しく減少し、25 パーセントの鋼に於ては、已に是等の變化を認むること能はず。

76 圖  $a$ ,  $b$ ,  $c$  の三曲線は炭素 0.6 パーセントのタングス

極小及極大を有し、熱傳導及電氣傳導の曲線と同様の形をなす、又  $c$  線に於ては極大極小共に消失し、膨脹係數はタンクステンの量と共に次第に減少す、 $a$  の二曲線が極小を有するは複炭化物の作用にして、 $c$  線に於て之を缺くは、此炭化物が  $850^{\circ}$  の高溫度にて分解するによる。

#### f K.S. 磁石鋼

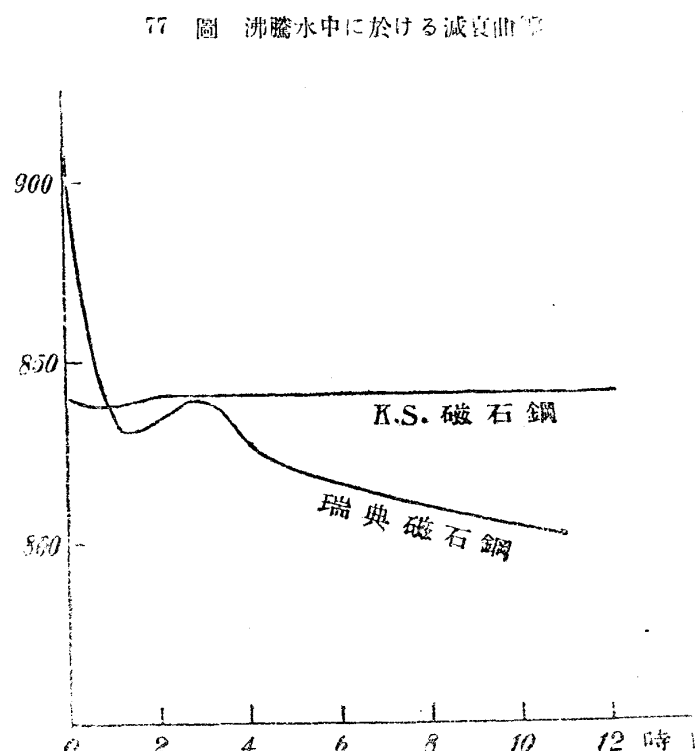
現今世界に於て最も良好なる磁石鋼は奧太利のベーラー、獨逸のボッシュー其他英、佛、米、瑞典等の鋼にして、何れもタンクステン乃至マパーセント、炭素0.4乃至0.7マパーセントを有す、其健淬せるものゝ顯微鏡組織は極めて細微にして無數の針狀結晶の集合より成る。又其耐久磁石に必要なる殘留磁氣 (Residual magnetism) 及頑性力 (C coercive force) は夫々約四百五十(長さと直徑との比即ち元比15のとき)及75を有す。

K.S. 磁石鋼は一種のコバルト鋼にして、住友吉左衛門男の厚意によりて研究を進めたる結果發見せらるゝに至れるものなるか故に、同氏を記念せんか爲め其頭文字を取りてかく命名せり。健淬せる K.S. 鋼の組織は歐米の磁石鋼の組織より一層細微にして、且つ硬度も歐米のものよりも高し。此鋼の殘留磁氣及頑性力は夫々約270(元比15)及260にして、歐米の磁石鋼を遙かに超越す。

一般に磁石鋼の組織は細微なれば細微なるほど、殘留磁氣及頑性力大にして、且つ鋼の硬度も高し。今既記の強磁性體の理論より耐久磁石を考察せんに、強磁性體を作る分子磁石の相互の距離が小なれば小なる程磁氣を得ること難しと雖、一旦磁氣を得れば再び之を失ふこと難し、即ち斯る鋼は耐久磁石に適す、されど分子間の距離の大小は物質の性質に屬するか故に人力によりて如何ともすること能はす。扱て強磁性體を形成する微小なる無數の結晶の境に於ては、分子磁石の方向は其内部の整然たる配布に比すれば、著しく異なりて雜然として種々の方向に向ふ、之れ小結晶の表面に於ける分子磁石は之と相接近せる他の結晶に屬する分子磁石の作用を受ければなり。かく雜然として互に著

しく接近せる分子磁石の一群は、磁場の作用を受けて磁氣を得ること容易ならざるも、一旦強く磁氣を帶ふれば、磁場を取去るも容易に磁氣を失はす。此説によれば鋼鐵を組成する微小なる結晶か無數錯雜して存在すれば、存在する程、結晶の境面上不規則に配列する分子磁石の數を増すか故に鋼鐵は頑力性を増し、從て殘留磁氣大となる。又硬度に關する余の説に依れば、結晶か小にして雜然たる程、硬き理なるか故に大なる殘留磁氣を有する組織は又大なる硬度を有すへく、之れ正に實驗上の事實と一致す。

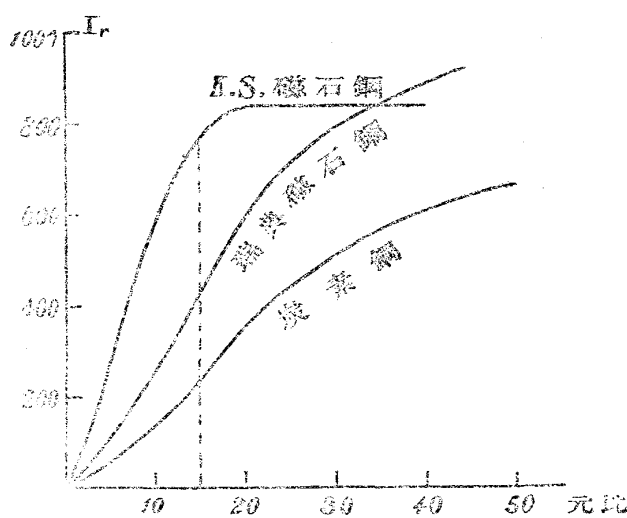
次に頑性力の大なる磁石鋼か何故耐久磁石として有利なるかを説明せん。凡て殘留磁氣の減衰す



る原因を考ふるに、磁氣の内部は常に自己の反磁力の爲めに磁氣と反対に向ふ所の力の作用を受く、故に若し絶えず之に振動を與ふるときは、分子磁石は反磁力の作用を受けつゝ振動するか故に、著しく其磁氣の強さを減す。又磁石鋼を例へば 100° の高溫度に長く曝すときは、同様に磁氣を減少す、何となれば溫度の上昇は分子の振動を盛ならしむれはなり。然るに此磁氣の減少に抵抗するものは、頑性力あるのみ、從て頑性力の小さなものは容易に磁氣を減し、其大なるものは之を失ふこと少し 77 圖は瑞典磁石鋼と K.S. 磁石鋼とを附磁せる後、100° の熱湯中に浸せる場合の磁氣減少の曲線を表はす、試料は何れも長さ 20 糊太さ 1 糊の棒にして其元比は 1 なり。此圖によりて見るに、瑞典鋼は熱湯中にて著しくその強さを減するも、K.S. 鋼は 1 時間を経るも少しも其強さを減することなし、之

れ後者に於ては其頑性力甚だ大なるに依る。

78 圖



とも、後には極小極大を経て徐々に減少すへきなり。

反磁力は棒の太くして短かき程大なるか故に、棒の元比小なれば小なる程殘留磁氣は小なり、殊に頑性力小なる磁石に於て然りとす。78圖はK.S. 磁石銅、瑞典銅、炭素鋼に於ける殘留磁氣と元比との關係を表はす。之によりて見るに普通の棒狀磁石の有する元比例へは15に於てはK.S. 磁石銅の磁氣の強さは瑞典銅の1.77倍に當るを見る、馬蹄形磁石に就ても亦同様なり。

## 第五章 クロム鋼

クロム鋼に關する研究は其數多しと雖、其の組成、熱處理による組成の變化、殊にクロム鋼に著しき自硬性 (Self-hardening property) に關しては未だ完全なる解決を見す。其異論の起る所は、各研究者夫々或特殊の狭き範圍内に於ける實驗を基礎とせるによる。本研究は炭素のパーセント以下の鐵、炭素、ク

ロムの合金 115 種に就て磁氣分析及顯微鏡的研究を行ひ、更に或特殊の者に就ては、熱分析及熱膨脹の測定をなし、以て前記の問題を解決せんと企てたるものにして、重に理學士村上武次郎氏の研究の結果なり。

### a 磁 気 分 析

先づ炭素を含まざるクロム、鐵の合金に就て研究せんかため、瑞典鐵(炭素 0.05 パーセント)と金屬クロムとを種々の割合に混してその合金をつくり、磁氣分析をなせり。各合金の磁氣の

強さと溫度の曲線は何れも

純鐵の如く頗る簡單にして

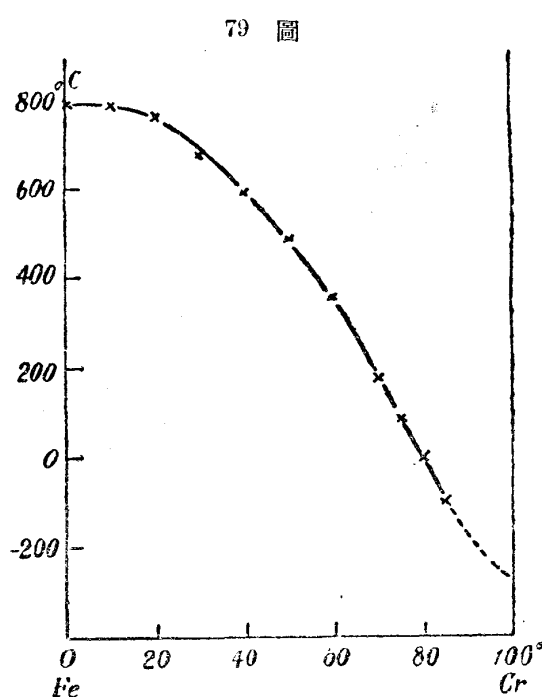
唯一つの  $A_3$  臨界點を有す。而

して其變化は可逆的(reversi-

ble)にして臨界溫度は加熱及

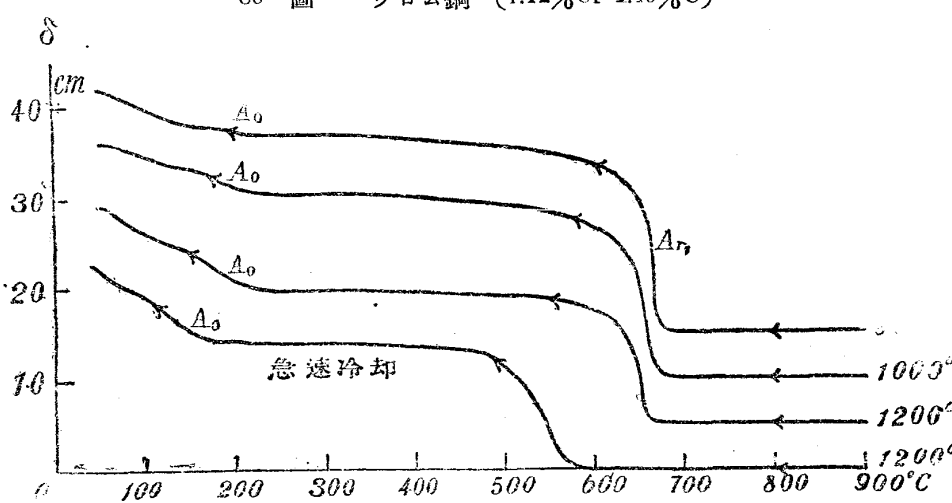
冷却の場合に於て大差なし。

又其臨界溫度はクロムの含有量増加するに従て下降し、80 パーセントのクロムを含有せるものは常温に於ては非強磁性にして、0°以下に冷却すれば強磁性となり、50 パーセントのものは零下 100° に於て非強磁性體より強磁性體に變す、又 50 パーセントのものは液體空氣の溫度即ち零度以下 185° に至るも猶非強磁性體なり。79 圖は其濃度と臨界溫度との關係を示す。曲線平滑にして急變の點なきは此兩者か凡ての割合



79 圖

80 圖 クロム鋼 (1.12%Cr 1.49%C)



に溶解し得へく、その間に化合物又は飽和點なきことを示すものなり。

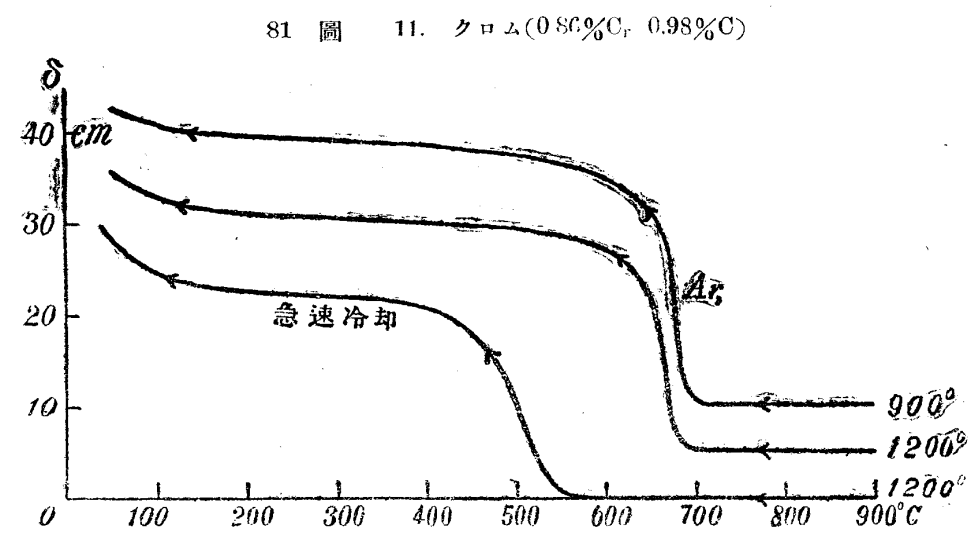
次に100餘の鐵炭素、クロムの合金に就て磁氣分析を行ひたる結果の中、代表的のものを擧ぐ。80圖乃至85圖に於て、縦軸は磁力計の鏡のフレにして、磁氣の強さに比例し、横軸は溫度を示す。

80圖はクロム少なく炭素多き合金の例にして、三つの磁氣變態點あり。即ち700°、200°及150°附近に於て、磁氣の強さに急變あり。700°は $A_{r1}$ 變態、200°はセメンタイト、150°は鐵、クロムの複炭化物の磁氣變態點なり。此種のクロム鋼をI種と

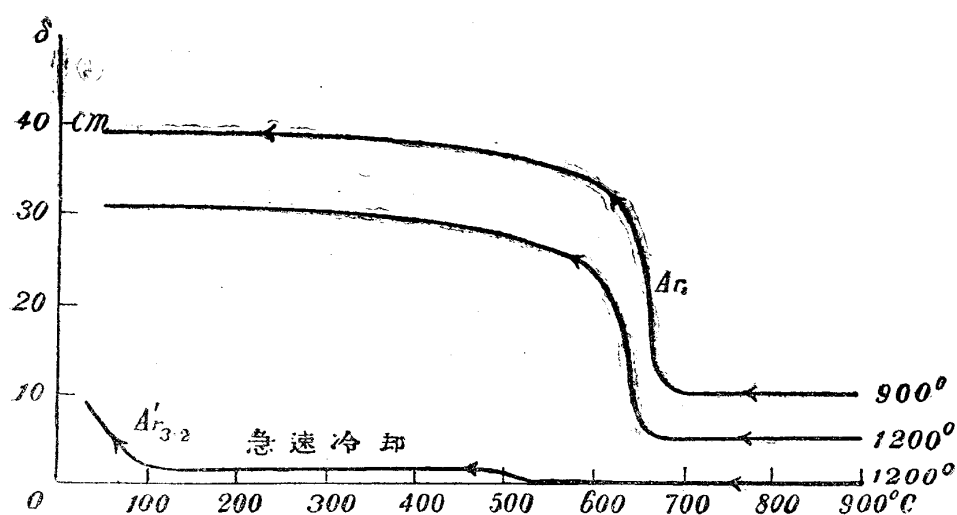
す。更にクロム多きか、又は炭素の少

きか、又は炭素の少きものは、81圖に示すか如く、700°と150°の變化を有すれども200°の變化なし。即ち炭素は悉く複炭化物となり、セメンタイトの存在せざるを示すものなり。此

の種のクロム鋼をII種とす。



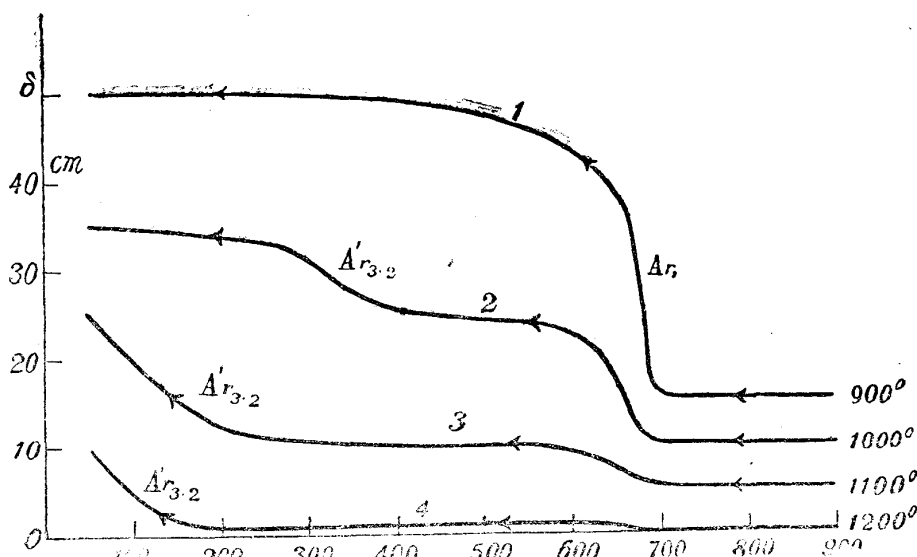
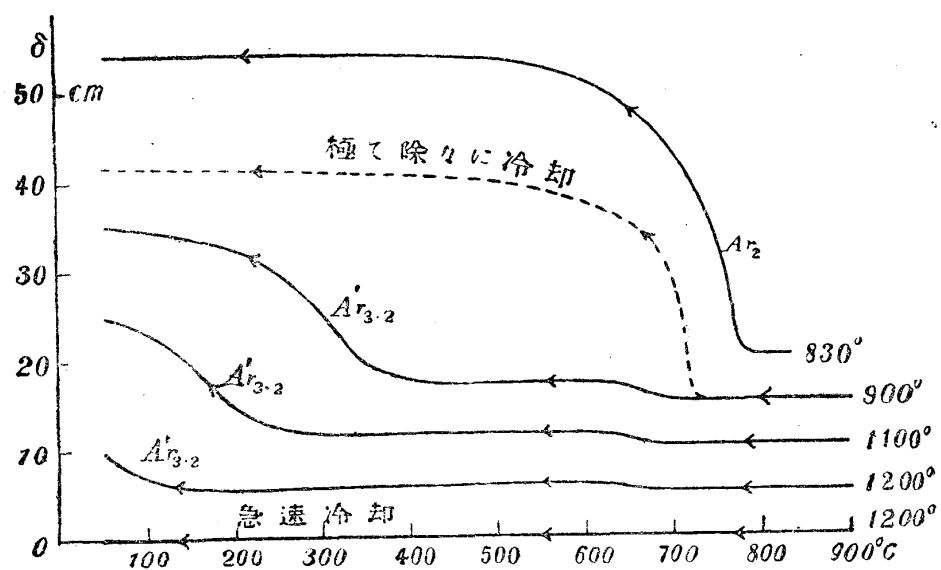
81 圖 111. クロム(0.86%Cr, 0.98%C)



扱て150°の變化が複炭化物に歸因することは、次の實驗に由て之を確めたり。クロム0.86パーセント、炭素0.98パーセントの鋼(81圖)をとり、稀鹽酸を用ひて電解して炭化物を分離し先づその一部をとりて分析したるに炭素7.25パーセント、クロム

更にクロムを増すか、又は炭素少なきものは、82圖に示すか如く $150^{\circ}$ の變化なく、唯 $700^{\circ}$ の變化のみ  
ものなり。

磁氣分析を行ひたるに、其加熱曲線に於て零下 $30^{\circ}$ 附近より急に磁氣の強さを減し、 $150^{\circ}$ に於て零となり $200^{\circ}$ 附近に於ては更に變化なし。是れ明にセメンタイトの存在せざるを示すものにして、此の殘渣中にある鐵は $150^{\circ}$ の臨界點を有する化合物即ちクロム及鐵の複炭化物として存在せるを證明するものなり。

83 圖 IV. クローム鋼 ( $9.2\% \text{Cr}, 0.63\% \text{C}$ )84 圖 V. クローム鋼 ( $1.37\% \text{Cr}, 0.74\% \text{C}$ )

G. 19 パーセント、鐵 $86.56\%$ を有せり。此の多量の鐵はセメンタイトか、遊離の鐵か、または鐵及クロムの複炭化物ならざるへからず。然るに稀鹽酸中に电解したるか故に、かく多量の鐵か遊離状態に於て殘渣(Residue)に來る筈なし。故に之は炭化鐵か或は複炭化物として存するものなるへし、因て他的一部分を取りて

を示す。此種類の鋼は高溫度より速に冷却するときは、82圖に示すか如く著しく臨界點を下降す。而し

て此の如き冷却曲線を示す、鋼はマルテンサイトの組織を有し、未だ炭化物を析出せず。故に此變化は下降せる  $A_{3,2}$  變態ならざるへからず。此種のクロム鋼をIII種とす。

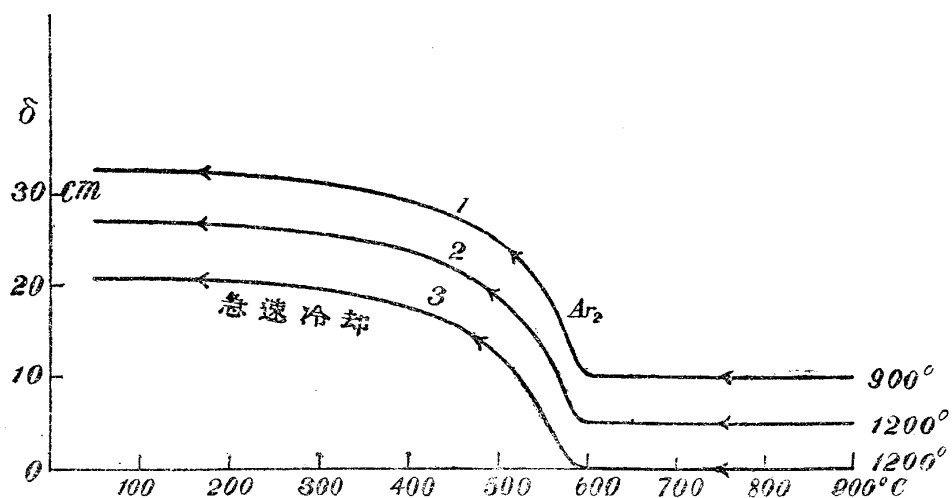
83圖は更にクロム多きか、炭素少なきものにして、此種の鋼は普通の速度にて冷却するも、最高溫度高ければ、臨界點を下降す。又  $900^{\circ}$  より冷却するも、その速度大なれば同様に臨界點を下降す。又炭素含有量稍多きものは、高溫度より急速に冷却するときは、常温に達するも磁性を表はさず。此種のクロムをIV種とす。

84圖は一層クロムの含有量多きか、又は炭素少なきものにして此種の鋼は臨界點の下降を生する最高溫度は更に低く、 $900^{\circ}$  又は  $850^{\circ}$  より冷却するも著しく之を下降せしむ。されども  $700^{\circ}$  附近を徐々に冷却すれば 84 圖に點線にて示すか如く此附近に於て炭化物を析出し、磁氣の強さを増す。

更にクロム含有量多き鋼に於ては、 $900^{\circ}$  附近より冷却すれば、唯  $A_2$  變態のみ表はるれとも、更に高溫度より冷却すれば、一部變態の下降を生す、此種のクロム鋼をV種とす。

85圖は炭素少なくクロムの含有量多きものにして、最高溫度の如何に關せず、單に變態を見るのみ。此種のクロム鋼をVI種とす。 $A_2$  點はクロム、鐵の合金の場合の如く、クロム含有量増加するに従て下降し、最高溫度又は冷却速度に由て殆ど影響せらるべきとなし。

85 圖 VI. クローム鋼 ( $27.5\%C$ ,  $0.28\%C$ )



b クロム鋼の標準組成

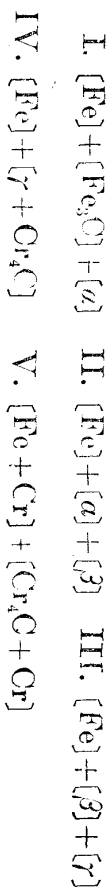
86 圖は鐵、炭素クロムの合金の標準狀態(900°より徐々に冷却したるもの)に於ける組成圖(Constitutional diagram)を示す。縱軸は炭素含有量、横軸はクロム含有量を表はす。從てセメンタイトはC點に由て表はれる。炭化クロム  $\text{Cr}_3\text{C}$  はG點に由て表はれる。顯微鏡的研究の結果は此の系に三個の複炭化物の存在するを示し、其組成は夫々CG線上に於けるD,E,Fの三點に由て表はれる。而してI, II, IIIに屬するクロム鋼は900°よりの冷却曲線に於て、夫々三個二個一個の變態點を有するか故に、前記の磁氣分析によりて其境界線AD,AEを定むることを得へく。又AFは磁氣分析及顯微鏡研究によりて、之を定むることを得。從てタンクステン鋼の場合と同様に三個の複炭化物の化學式を求むれば夫々  $(\text{Fe}_3\text{C})_{18}\text{Cr}_3\text{C}$ ,  $(\text{Fe}_3\text{C})_9\text{Cr}_4\text{C}$  及  $\text{Fe}_3\text{C} \cdot \text{Cr}_4\text{C}$ を得。今之を夫々  $\alpha$ ,  $\beta$  及  $\gamma$  複炭化物と名づく。然るにI, II, III, IV, V, の各區域に属する合金は平衡狀態に於ては各三角形の頂點に相當する物質より成るものと考ふるを得るか故に、各區域の合金の組成は次の如し。即ち

區域 I	鐵, セメンタイト及複炭化物。	區域 II	鐵, $\alpha$ 及 $\beta$ 複炭化物
區域 III	鐵, $\beta$ 及 $\gamma$ 複炭化物	區域 IV	鐵, $\gamma$ 複炭化物及炭化クロム
區域 V	鐵, 炭化クロム及クロム		

前記磁氣分析の結果は此組成圖によく一致し、區域 I(+)に屬するものは900°よりの冷却曲線に於て三個の變態點(80)圖を有し、區域 II(○)に屬するものは二個の變態點(81圖)を有す、又區域 III(+), IV(x), V(○)に屬する者は一個の變態點(82, 83, 84圖)を有す。第一種(I)より第四種(IV)に至る鋼は900°よりの冷却曲線に於て、何れも700°附近に磁氣變化即ち  $\text{Ar}_1$  變應を示す。此變化は鐵か固溶體より炭化物を分離するときに起るものなれば、此變化は此溫度以下に於て遊離炭化物の存在を示す。例くは第一種の鋼(80圖)に於て、 $\text{Ar}_1$  點以下に200, 150°の變態點あるは、セメンタイト及  $\alpha$  複炭化物の遊離して存在するを示

す。第二種の鋼(81圖)に於ては、 $150^{\circ}$ の變化あれとも $200^{\circ}$ の變化なきか故に、 $\alpha$ 複炭化物のみ存在するを示す。

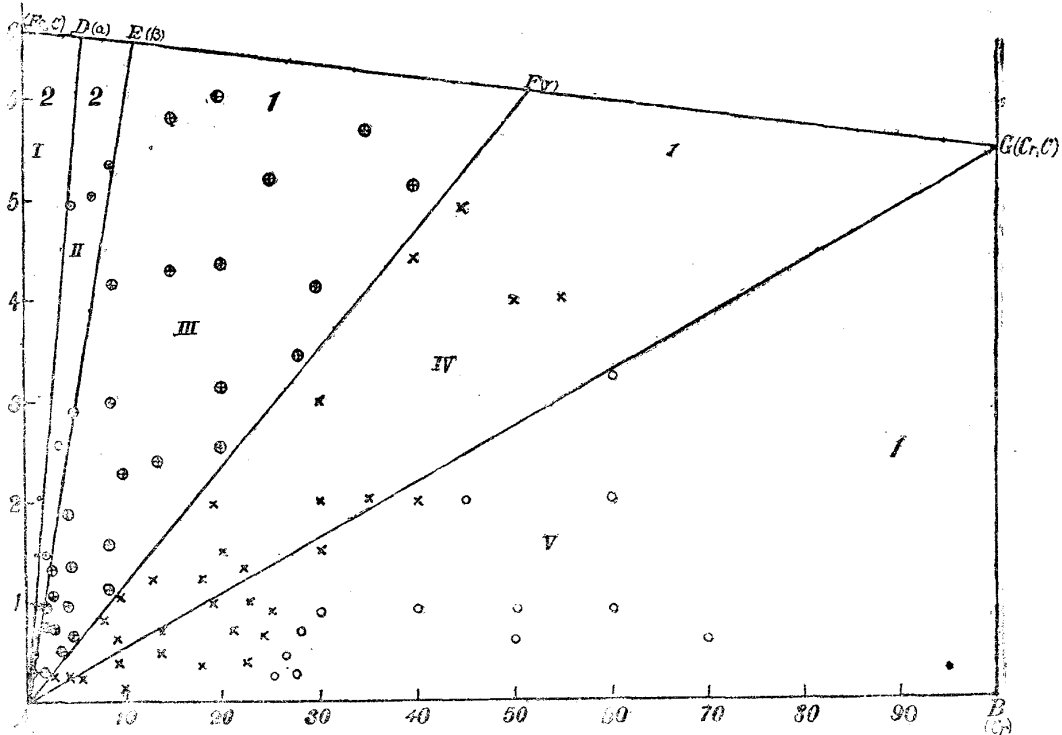
又 $\gamma$ 炭化物は非強磁性なるか故に、冷却曲線上に變態の外他の變化なきは複炭化物 $\beta$ 及炭化クロム $\text{Cr}_3\text{C}$ か何れも非強磁性なるか故なり。更に顯微鏡的研究によれば、 $\alpha$ の三複炭化物は常温に於て互に固溶體を作らす。されど $\gamma$ 炭化物と炭化クロムは任意の割合にて固溶體をつくる。又炭化クロムは純粹のクロム或はクロム多き部分にはよく溶解す、故に是等のクロム鋼の標準組成は次式に由て表はさる。



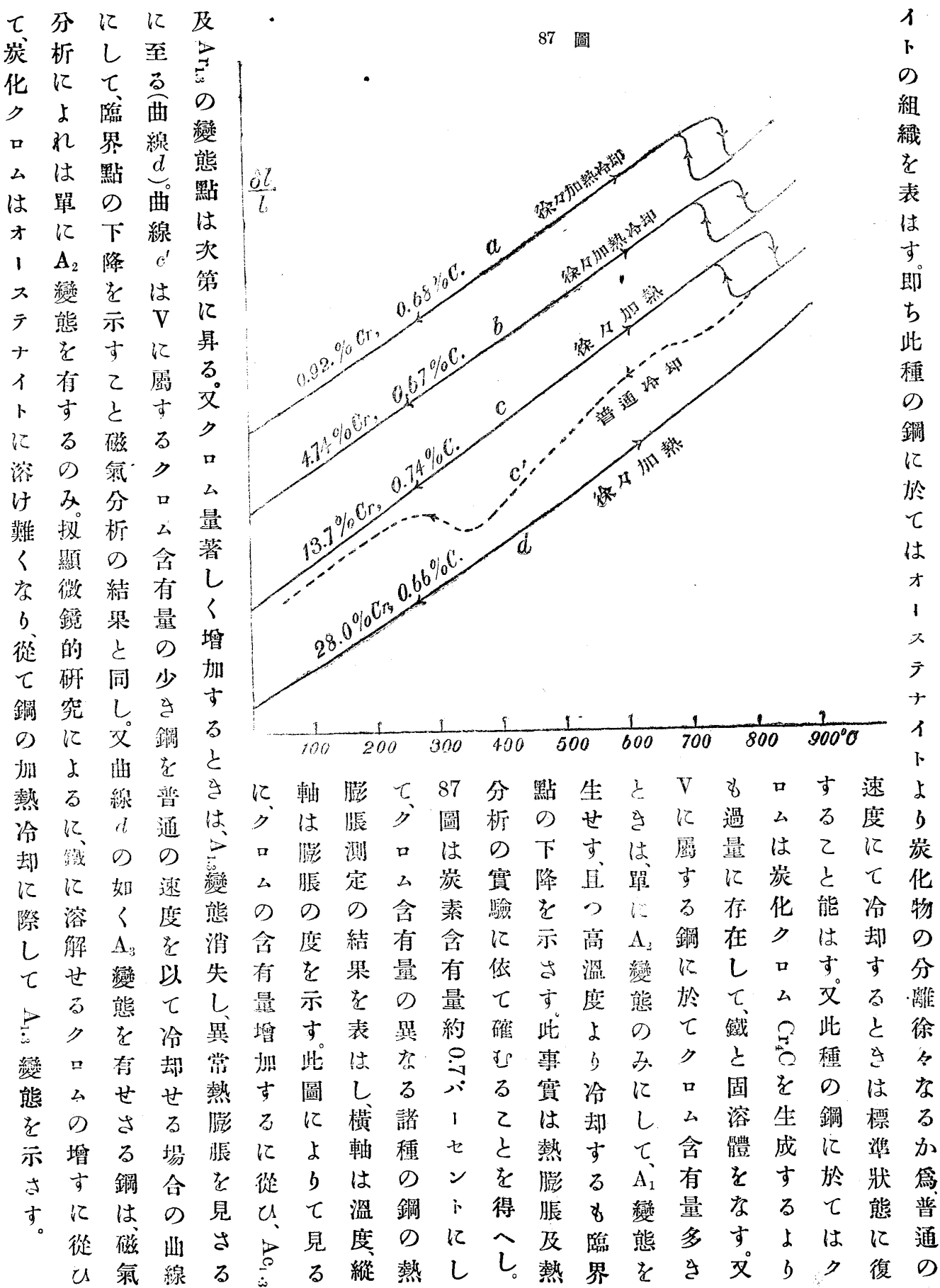
茲に括弧〔〕は其中の物質が遊離して存在することを表はす。

區域Vに屬する鋼はクロム及炭素含有量に因て、84圖及85圖に示すか如く其の冷却曲線を異にする。<sup>84</sup>圖の例はクロムの量少きものにして、普通の速度を以て $600^{\circ}$ より冷却するも臨界點の下降を生す。かく臨界點の下降せる鋼を顯微鏡にて検するときは、前に述へたるか如く、マルテンサイトの組織を有し、炭化物の尙固溶體となりて存在するを示す。されど $700^{\circ}$ 附近を十分徐々に冷却せる鋼に強き磁性を得て、パーラ

86 圖

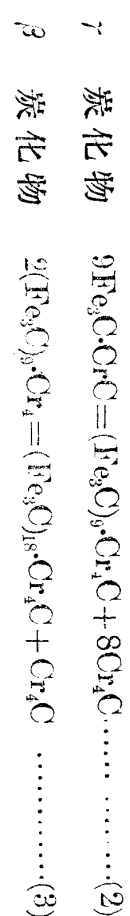


87 圖





の下降を生ずべき最高溫度に低下し、單に  $Ac_1$  點以上に熱すれば容易に臨界點の降るを見る。此種の鋼は熱膨脹測定の結果より明かなるか如く(87 圖曲線 C)  $Ac_1$  點は  $840^{\circ}$  附近に在り、故に此鋼を  $850^{\circ}$  より冷却するも容易に臨界點の下降を見る。是れ此種の鋼に於ては、クロム炭化クロム  $Cr_4C$  を生するよりも餘分に存在して、鐵中に溶存するか故に、單に  $Ac_1$  點まで熱して炭化物を溶解せしむれば、既に過剰に存するクロムのために、其の炭化物を阻止せられ、容易に臨界點の下降を見るなり。(4) 區域 V に屬するクロムの含有量多きものは  $Ar_1$  變化なく、又臨界點の下降を見るのは、クロムの含有量増加するに従ひ炭化クロムの溶解度及解離度を減少するに由る。此の中間の成分を有する鋼に於ては、最高溫度の上昇に從て一部分臨界點の下降するは、炭化クロムの一部分オーステナイトに溶解し、之が解離するに由る。(5) 區域 III に屬するものは、通常の速度を以て冷却するときは、 $1200^{\circ}$  の最高溫度よりするも、臨界點の下降を生することなしと雖、 $1200^{\circ}$  の高溫度より急速に冷却するときは、著しく下降す(82 圖)。この種の鋼は標準狀態に於ては炭化クロム  $Cr_4C$  を含有せずと雖、及  $\beta$  複炭化物を有するか故に、 $Ac_1$  點以上に於ては是等が次式に従て解離して  $Cr_4C$  を生し、後者は更に高溫度に於て解離してクロムを生すと考ふることを得へし。即ち



普通の速度にて冷却するとときは、其の途中に於て再び結合して複炭化物を生すと雖、冷却速度大なるときは其の結合不充分なるか爲、殘存せるクロムに由て臨界點の下降を見るなりと考へらる。(6) 之に反して普通の速度にては臨界點の下降するものも充分徐々に冷却する時は、普通の溫度に於て炭化物の析出(84 圖點線)を見るは、假令高溫度に於ては解離してクロムを生するも、冷却の速度小なれば其の途中に於て再び結合するを示すものなり。又  $700^{\circ}$  附近に於て炭化物を凡て析出せしむるに要す

る時間はクロムの含有量に因て異なり、區域Ⅴに屬する鋼(クロム含有量少なきとき)は區域IVに屬するものよりも多くの時間を要するは、鐵中に存在せるクロムか炭化物の析出を阻止するによる。

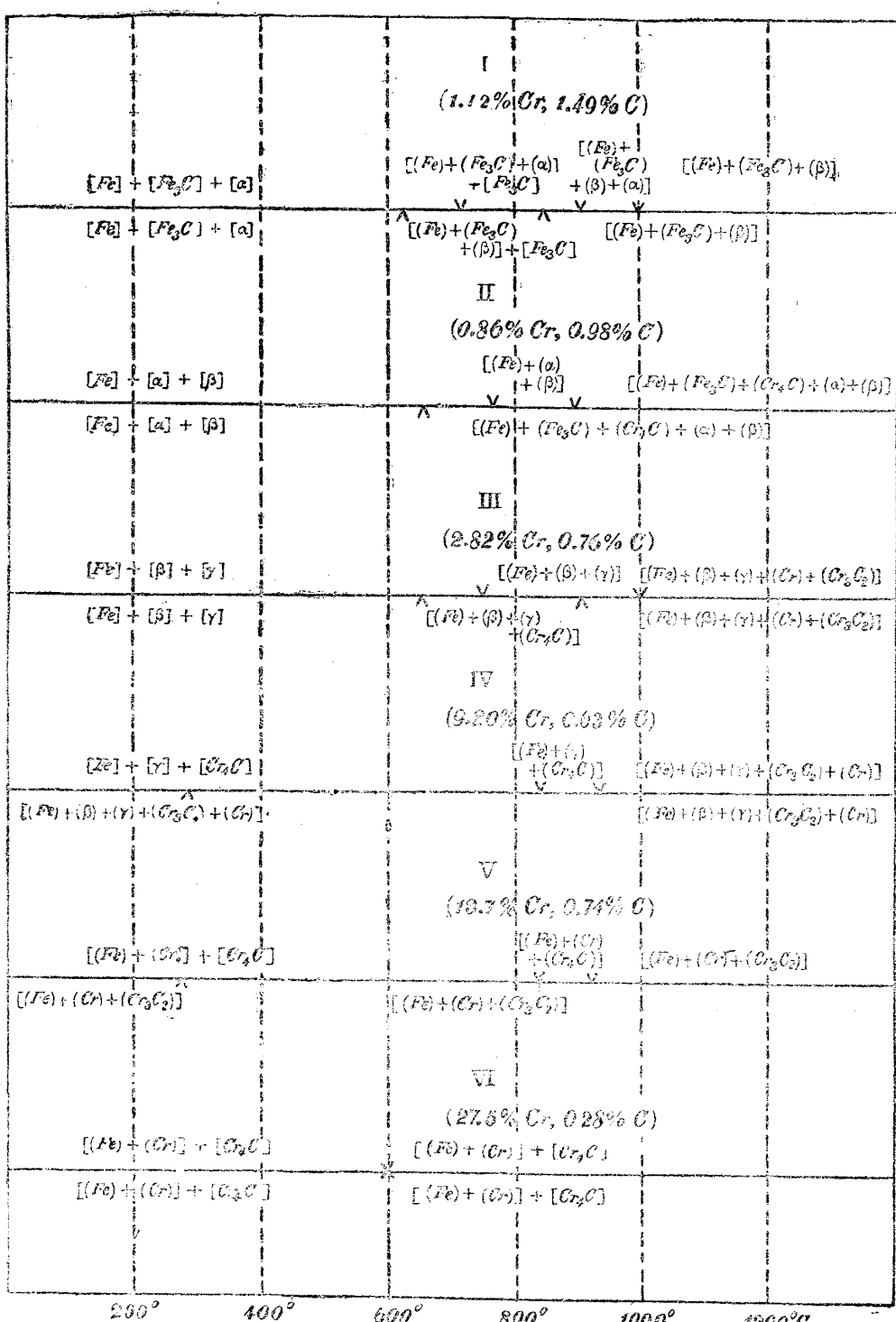
クロム鋼の自硬性は普通の速度を以て冷却すると、臨界點の下降するものに於て表はる。故に區域IV及Vに屬し且つクロムの少なきものは凡て自硬性を有す。但し區域IVに屬する鋼に於てもIIIに近き成分を有するものは、最高溫度高からされは自硬性を表はさず。又區域Vに近きものは900。乃至950°より冷却するも自硬性を有す。又區域Vに屬し且つクロムの少きものは850°より冷却するも自硬性を表はす。自硬性は鐵中に溶解せるクロムか炭化物の分離を阻止するか爲めに生す。

エドワード(Edward)は1916年クロム6.15炭素0.63パーセントを有するクロム鋼を研究して、自硬性は臨界冷却速度(Critical cooling velocity)に關係することを發見せり。即ちクロム鋼を臨界冷却速度以上の速度を以て冷却するときは、著しくA<sub>1</sub>變態の大さを減し、同時に自硬性を表はす、且つ冷却速度増加するに従ひて益々A<sub>1</sub>變態は減少して其硬度を増す。又最高溫度高まるに従ひ、臨界冷却速度は漸次に減し、比較的徐々に冷却するも自硬性を表はすことを發見せり。氏は其説明としてクロム及炭素は常溫にては炭化クロム( $\text{Cr}_3\text{C}_2$ )として存在し、 $A_{\text{C}1}$ 點以上に熱するときは先づ之が鐵に溶解し、それより溫度の昇るに従て漸次に解離して $\text{Cr}_3\text{C}_2$ となり、炭化物の分子數を増す。かく解離したる炭化物は冷却に際して容易に結合し難く、ために炭化物の析出を阻止し、 $A_{\text{C}1}$ 點の下降を生するものならんとの假説を提出せり。されども此説によれば化合せざるクロムを含有する區域Vのクロム鋼に於て、何故にA<sub>1</sub>變態が容易に阻止せらるるかを説明すること能はず。若し氏の言ふか如くA<sub>1</sub>點の下降か解離したる炭化物 $\text{Cr}_3\text{C}_2$ に原因するものならば、其自硬性は區域VよりもIVに屬する鋼に於て著しからざるへからず。何となればIVの區域に屬するものはVの區域に屬するものよりも多量の炭化物を有すればなり然るに事實は之に反す。



り冷却するときは、セメンタイトは約 $850^{\circ}\text{C}$ に於てオーステナイトより析出し始め、 $1100^{\circ}\text{C}$ 點に至りて残餘のセメンタイトは $\beta$ 複炭化物と結合して $\alpha$ 複炭化物を生して析出す、故にそれ以下の溫度に於ては標準狀態に復す。以上の變化は88圖1によりて表はざる。

88 圖



合には、セメンタイト及 $\alpha$ 複炭化物の變化が加熱に際して表はれざるは、炭化物が鐵中に固溶體として存在するを得かく兩炭化物の變化は表はれざるとも、冷却の場合には明かに是等の變化を見

に於ける複炭化物の離合は磁氣的にこれを證明することを得。今このとを得て、淬したるものと再び約 $50^{\circ}\text{C}$ に熱して水中に健を測定すると、其の間に於ける磁氣の強さは、加熱の場

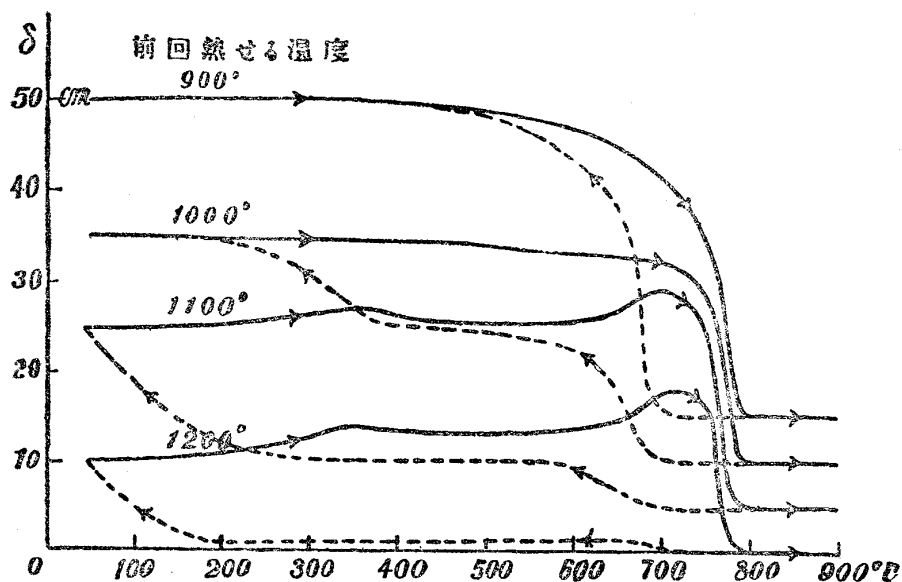
ためにして、冷却の際に表はるゝは之か  $500^{\circ}$  迄熱する間に反淬せられて鐵より分離するによる。之に因て兩炭化物は  $900^{\circ}$  に於ては變化せざるを知る。次に  $900^{\circ}$  より冷却し、 $750^{\circ}$  或は  $600^{\circ}$  に於て健淬したるものと、前と同様に磁氣分析に處するときは、 $750^{\circ}$  にて健淬せるものは  $900^{\circ}$  より健淬せるものと同様なれども、 $600^{\circ}$  より健淬せるものは、加熱の場合に於て已にセメンタイト并に  $\alpha$  複炭化物の變化を見る。是れ  $750^{\circ}$  に於ては、此等の炭化物は尙固溶體として存在するも、 $690^{\circ}$  の  $A_{r_1}$  點を過ぐる間に全部分離するを示すものなり。次に  $1100^{\circ}$  より健淬したものは、 $600^{\circ}$  に熱したる後冷却曲線に於て、單にセメンタイトの變化を表はすのみにて、 $\alpha$  複炭化物の變化を見す。是れ  $1100^{\circ}$  に於て、 $\alpha$  複炭化物はセメンタイトと非強磁性の  $\beta$  複炭化物とに分離せるを示す。又  $1100^{\circ}$  より冷却し、 $750^{\circ}$  に於て健淬するときは、加熱曲線上既に  $200^{\circ}$  のセメンタイトの變化を見るは、 $750^{\circ}$  に於て已に一部分セメンタイトの分離せるを示すものなり。されど冷却曲線上に於ても  $\alpha$  複炭化物の變化を見す。然るに  $1100^{\circ}$  より冷却し、 $600^{\circ}$  に於て健淬したものは加熱曲線上に於て兩炭化物の變化を見る。是れ  $1100^{\circ}$  に熱したるかため解離して生せる  $\beta$  複炭化物及セメンタイトが  $A_{r_1}$  點を通過する間に再結合して  $\alpha$  複炭化物を生したるを示すものなり。

同様に區域 II に屬する鋼第二例(81圖)及區域 III に屬する鋼(第三例, 82圖)の組成の變化を考ふることを得、但し此場合に於て複炭化物の高溫度に於ける解離は、二個の炭化物即ちセメンタイトと炭化クロムにあらずして、前に方程式(1)(2)(3)に記したるか如き解離なるか如し。何となれば是等の鋼を  $1200^{\circ}$  の如き高溫度より健淬して磁氣分析に處するも毫もセメンタイトの變化を見ること能はざればなり。以上の變化は 88 圖 II 及 III によりて表はざる。

自硬性を有するクロム鋼の組成の變化は 88 圖及 IV 及 V に由て表はざる。第四例(83 圖)は區域 IV に屬するものにして、標準狀態に於ては、鐵、 $\beta$  複炭化物及炭化クロム( $CrC$ )を含有す。 $A_{c_1}$  點以上に於ては是等

の炭化物はオーステナイトに溶解す。900°以上に於ては炭化物 $\text{Cr}_3\text{C}$ は(1)式に從て解離し、 $\gamma$ 複炭化物は(2)式に從て $\text{Cr}_3\text{C}$ と $\beta$ 複炭化物とに解離す。故に900°以上に於ては、此鋼はオーステナイトに溶解せる $\beta$ 及 $\gamma$ 複炭化物、炭化クロム $\text{Cr}_3\text{C}_2$ 及クロムを含有す。1000°以上より普通速度を以て冷却して臨界點の下降を見るは、此溶解せる金屬クロムか炭化物の析出を阻止するによる。普通速度にて900°より冷却すれば、700°に $\text{Ar}_1$ 變態を見るも急速に冷却すれば著しく臨界點の下降を生す。是れ900°に於て既に一部分 $\text{Cr}_3\text{C}$ の離解に由てクロムを生ずるに於ては、されども普通速度にて冷却すれば、クロムは再び結合して炭化クロムとなるか故に、臨界點の下降を見す。若し1000°以上より冷却するときは解離せるクロムの全部は再び結合することを得ずして、 $\text{Ar}_1$ 點以下に達するか故に、一部或は全部臨界點の下降を生ずるなり。又下降せる臨界點に於ては、炭化物は分離することなく、猶固溶體として殘留するか故に常温に於ける磁氣の強さは弱く、且つ鋼の硬度は大なり。故に一旦かく高溫度に熱したる鋼は、常温に於ても尙鐵に溶解せるクロム及炭化物を含有す。以上の變化は88圖IVに依つて表はざる。

89圖 クローム鋼 (9.2%Cr, 0.63%C)



第五例(84圖)は區域Vに屬せるクロムの含有量少なき鋼にして、自硬性を有す。此鋼の熱處理による組成の變化も亦前と同様に考ふることを得。但しこの場合には $\gamma$ 複炭化物を有せず。されど此鋼は常温に於ても鐵に溶解せるクロムを有するか故に、850°より冷却するも臨界點の下降及自硬

性を表はす。

此の如く高溫度より冷却して臨界點の下降せるものを再び加熱するときは、溶解せる炭化物は徐々に分離するか故に、加熱曲線上磁氣の強さの増加するを見る。89圖は區域IVに屬する鋼の加熱曲線の一例にして、點線は前回の冷却曲線を表はす。前の冷却曲線に於て臨界點の下降を示すものは、次の加熱曲線に於て磁氣の強さの増加するを見る。磁氣の増加は鋼の反淬を示し、其時の溫度の高低は反淬の難易を示すものなり。更に此鋼を熱して  $A_{C_1}$  點に達するときは、遊離せる炭化物はクロムと作用して  $Cr_3C$  を生ずるか故に、 $A_{C_1}$  點より少しく高き溫度より徐々に冷却するときは、 $Cr_3C$  は  $A_{C_1}$  點にて析出して、標準狀態に復すへし。以上の變化は 88 圖 V によりて表はさる。

第六例(85 圖)は區域Vに屬するクロムの含有量多き鋼にして、前者と同一の組成を有す。但し、前に述べたるか如く、此鋼は  $A_1$  變態を有せず、且つ高溫度に於て炭化物は鐵に溶解すること少く、從て熱處理によりて組成を變化することなし。(88 圖 IV)

#### e 顯微鏡組織

顯微鏡組織を研究するに當り、クロム含有量少きものは腐蝕剤として硝酸又はピクリン酸のアルコール溶液を用ひ、クロム含有量多きものは鹽酸を用ひたり。鐵及クロムの複炭化物は、 $\alpha$  炭化物を除きてはピクリン酸曹達を以て煮沸するも着色せず。本研究に於ては是等の複炭化物を検出するに一新試薬を用ひて其研究を進めたり。此の試薬は赤血鹽及苛性加里各二〇丸を水 100cc に溶解したるものにして、研磨面を此液に浸すときは、 $\gamma$  複炭化物は一〇秒乃至 20 秒にして褐色となり、更に長く浸すときは青色乃至黃色に變す。 $\beta$  複炭化物は常溫に於ては此試薬に由て着色し難けれども、此液にて數分間煮るときは、褐色乃至青色に變す。 $\alpha$  複炭化物及セメンタイトを此液にて煮るときは褐色に變す。又  $\alpha$  炭化物及セメンタイトはピクリン酸曹達にて煮るときは赤血鹽溶液を用ひるよりも一層よく着

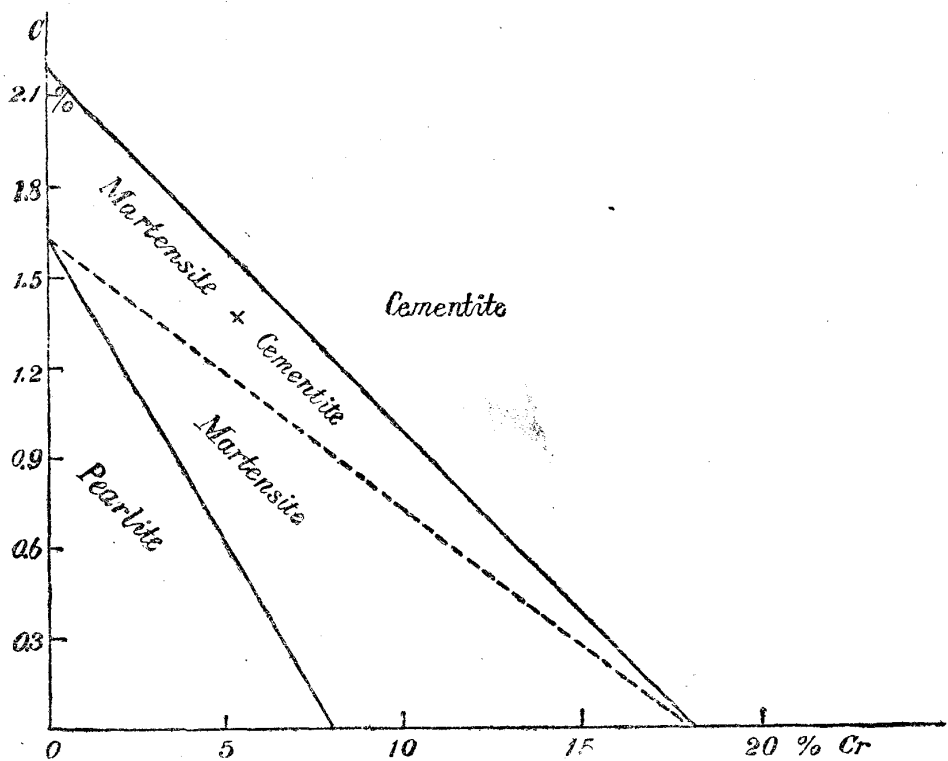
色すれとも、他の複炭化物は之に由て着色せず。又炭化物  $\text{Cr}_3\text{C}$  は此溶液にて煮るも着色せず。又鐵とクロムとの合金はクロム 50 乃至 90 パーセントのとき最著しく着色し、クロムの量之より増減するも、其着色度を減し、クロム 30 パーセント以下、或は 90 パーセント以上に達すれば煮沸するも殆ど着色せず是等の性質の異同に由てよく鋼中に存在する物質を鑑識することを得るなり。

90 圖はクロム鋼の組成圖(Structural diagram)を示す。ABRQ は二等邊三角形の一部分にして、二つの頂

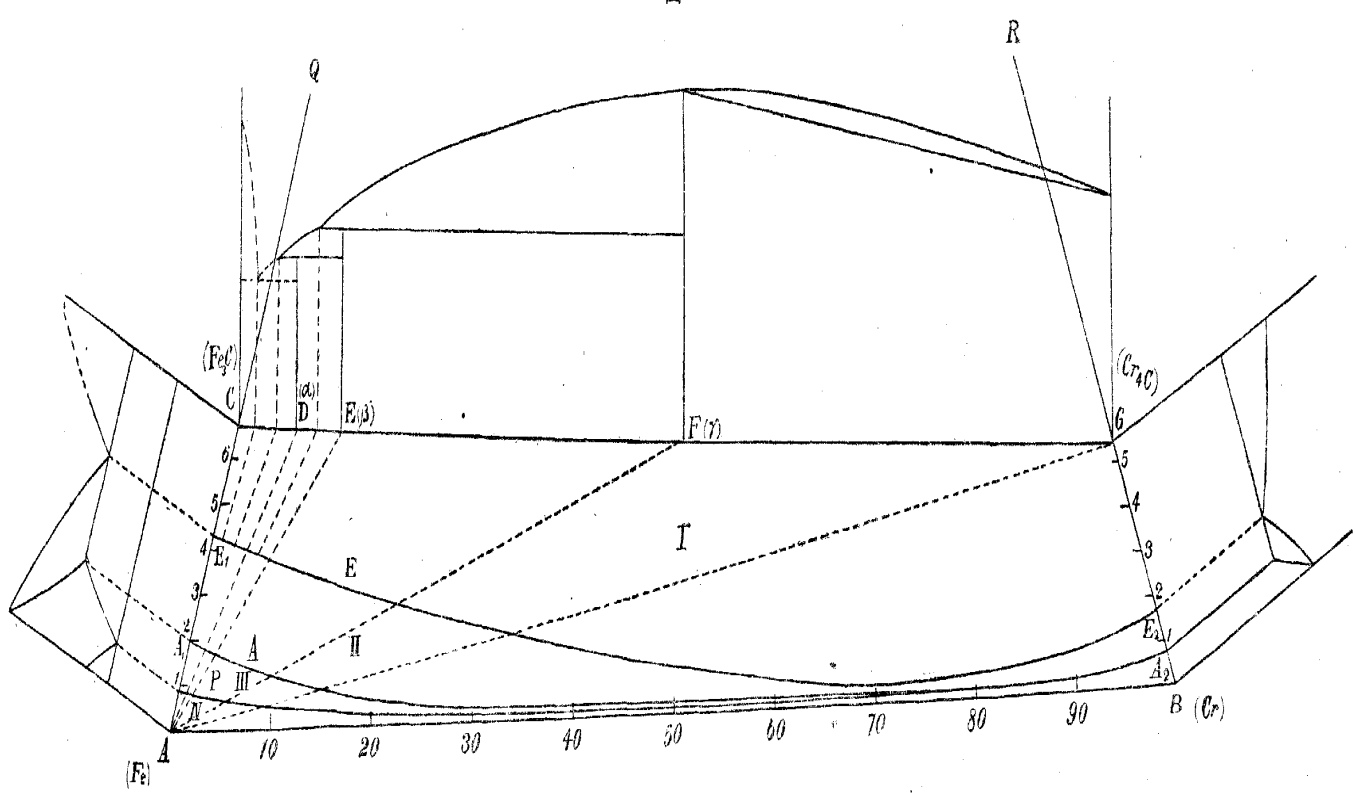
點 A と B は鐵とクロムを表はし、他の頂點(圖には表はさず)は炭素を表はす。嚴密に云へば三成分系を表はすには正三角形を以てせざるからず。されども本圖に於ては炭素の量を著しく大に(五倍)表はさんかために二等邊三角形となせり。又此三角形の邊上の一點は此三元素中の二つより成れる合金の成分を表はし、三角形内の一點は三元素より成れる合金の成分を表はす。從て化合物  $\text{Fe}_3\text{C}$  及  $\text{Cr}_3\text{C}$  は C と Q 點に由て表はされ、 $\alpha$ ,  $\beta$ ,  $\gamma$  の複炭化物は直線 CG 上の三點 D, E 及 F に由て表はれる。

次に此三角形の邊 AC 上に立てる圖は鐵と炭素系の已知の平衡圖なり。邊 BG 上に立てる圖は顯微鏡的研究の結果に基づけるクロム炭素系の定性的平衡圖なり。顯微鏡的研究によれば、熔融狀態に於てはクロム及炭化物  $\text{Cr}_3\text{C}$  は互によく混合すと雖、常溫の固

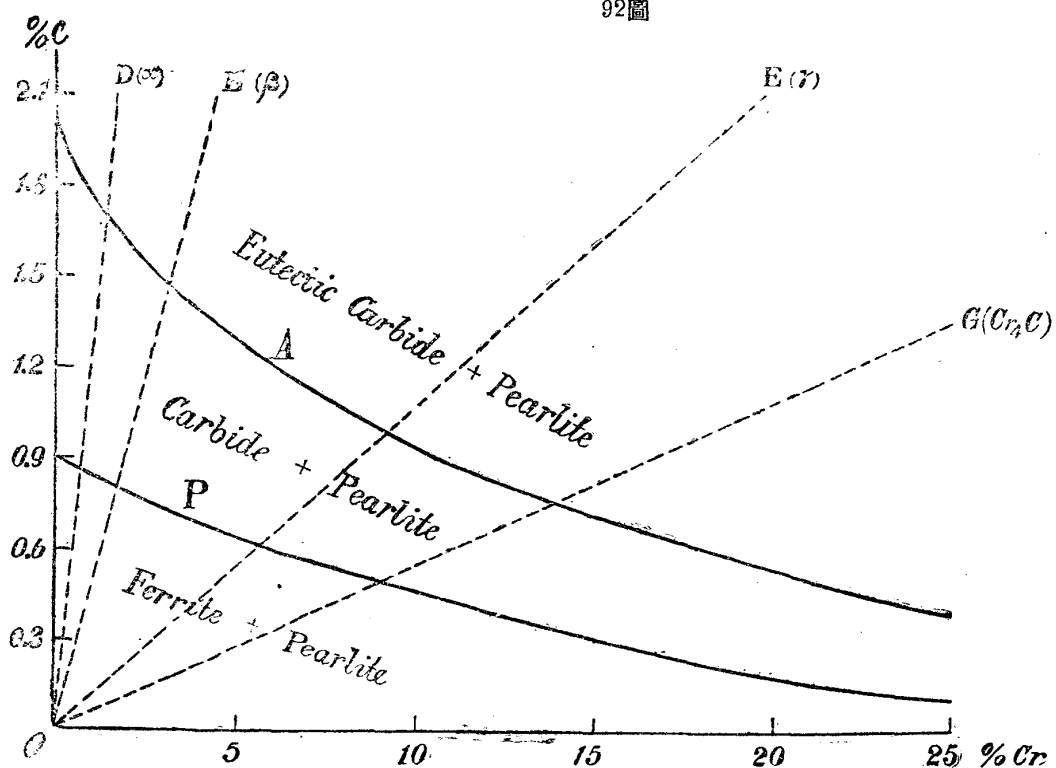
91 圖



90



92圖



態に就ては、炭化クロムは殆どクロムを溶解せず。又クロムは0.6パーセントに相當する炭化クロムを溶解するに過ぎず。故に此系を融液より冷却するときは、其成分に従て先づ炭化クロム、或は炭化クロムを溶解せるクロムを析出し、或一定溫度に至りては共融混合物をつくる。此混合物の成分は炭素を含有量1.7パーセントに相當す。又A<sub>2</sub>はクロムに於ける

炭化クロムの飽和成分を表はし、E<sub>2</sub>は共融混合物の成分为表はす。又クロムと鐵とは其割合如何に係はらず互に固溶體を作り、其最低熔融點はクロム70パーセント附近にあるか如し。

複炭化物 $\alpha, \beta$ , 及 $\gamma$ は二炭化物 $Fe_3C$ 及 $Cr_3C$ より成ると考へらる。直線CG上の圖は此系の想像的平衡圖を示す。 $\alpha$ 及 $\beta$ 複炭化物は或溫度以上に於ては不安にして分解し、之を融液より冷却するときは、 $\beta$ 炭化物は或溫度に於て、先に析出せる $\gamma$ 炭化物と融液との化合に由て生し、 $\alpha$ 炭化物は $\beta$ 炭化物と融液とより生成せらるゝか如し。又 $\alpha$ 炭化物とセメンタイトとは共融混合物をつくると考へらる。 $\gamma$ 炭化物と炭化クロム $Cr_3C$ とはすべての割合に固溶體をつくる。

直線AD, AE, AF, AGは合金の異なる組成を有する區域の境界線を表はす。溶融狀態に於ては、是等の成分子は、凡ての割合に混合し得へしと雖、固體の狀態に於

ては鐵又はクロムは一部分炭化物を溶解し得るに過ぎず。故に融液より冷却するに際し、其成分にて炭化物、或は鐵と炭化物との固溶體(オーステナイト)か初期結晶として析出し、其殘液は或溫度にて共融混合物を作る。圖に於て曲線 $E_1E_2$ 即ちE線上の諸點は共融混合物の成分を表はし、曲線 $A_1A_2$ 即ちA線上の諸點は其溫度に於ける飽和固溶體の成分を表はす。此溫度より更に冷却する時は、炭化物はオーステナイトより析出し、 $A_T$ 變態點に至りて殘餘の炭化物及鐵は分離して共融混合物なるパラサイト組織となる。曲線P上の諸點は此の共融混合物の成分を表はす。故に顯微鏡組織の上より分類するときは、鐵、クロム、炭素の合金はE, A, Pの三線に由て次の四種に分たる。

- (1) E線に相當するよりも多量の炭素を含有するのは炭化物の初期結晶及共融混合物より成る。
- (2) E線とA線との間の成分を有するものはオーステナイトより分離したるパラライトと共融混合物より成る。
- (3) A線とP線との間の成分を有するものはオーステナイトより分離せる炭化物とパラライトとより成る。

- (4) P線よりも炭素少きものはフェライトとパラライトとより成る。

佛人ギエー氏は1904年クロム鋼の顯微鏡組織を研究し、之を組織上より分類してパラライト鋼、マルテンサイト鋼又はトルースタイト鋼及複炭化物鋼の三種となし、91圖の如き狀態圖を發表せり。此圖は屢々教科書に引用せらるれ共、マルテンサイト及トルースタイトは、冷却の速度に依て變化すべき不安定の組織なるか故に、根本的の分類と云ふを得ず。尙此圖に於ける炭化物存在の範圍は實際の場合と大に異なる所あり。本研究所の結果によれば92圖の如き圖を以て之に代へざるへからず。

以下顯微鏡寫真圖(93圖より124圖)に就て説明せんとす。別に註釋を加へざるものは凡て酸(ピクリン酸、硝酸のアルコール溶液又は鹽酸)を以て腐蝕したるものなり。(寫真は最後に掲載す) (未完)